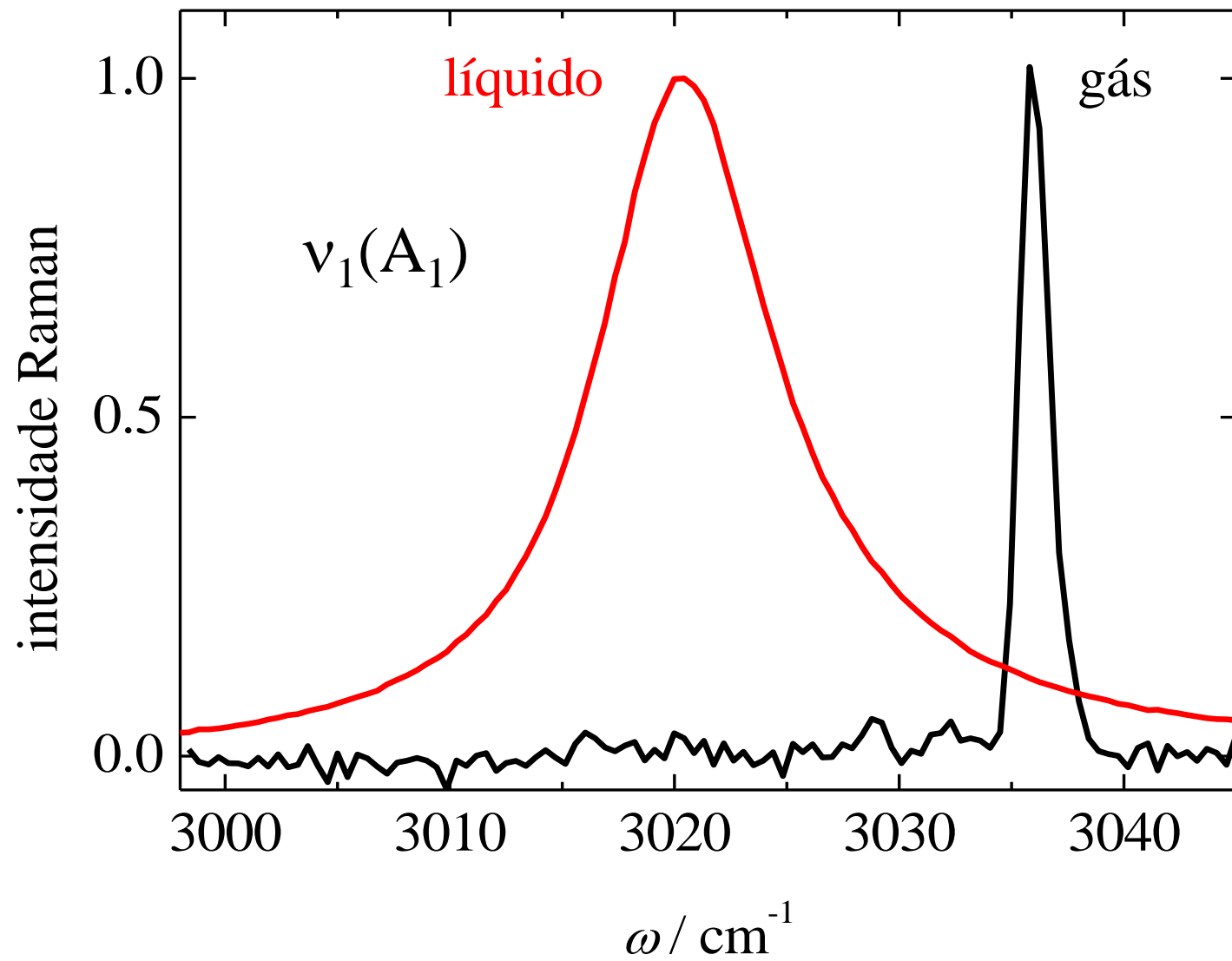
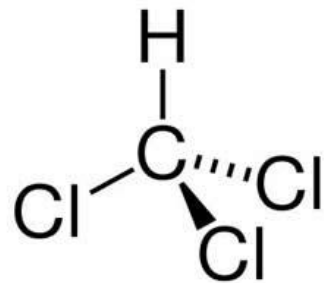
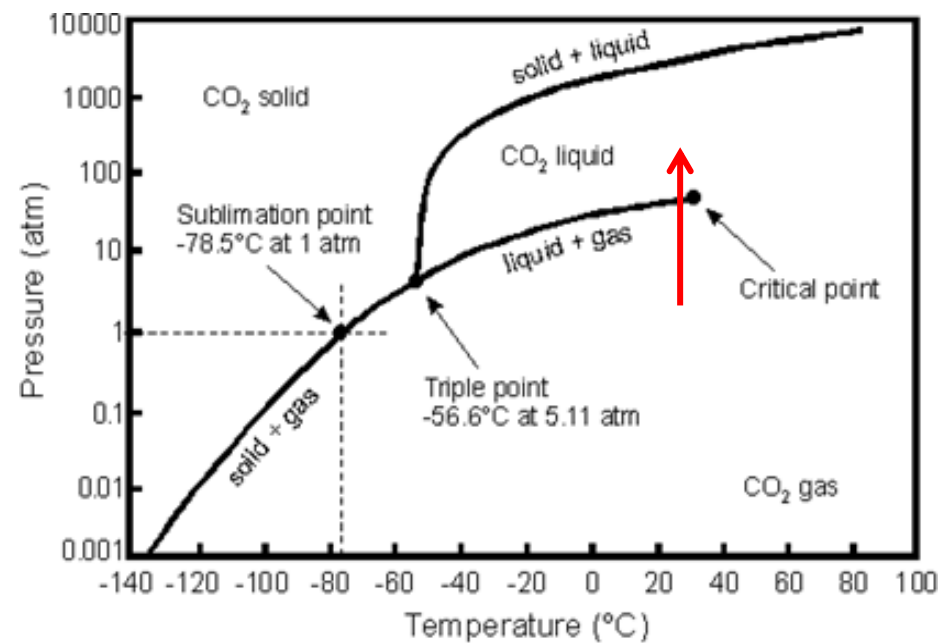
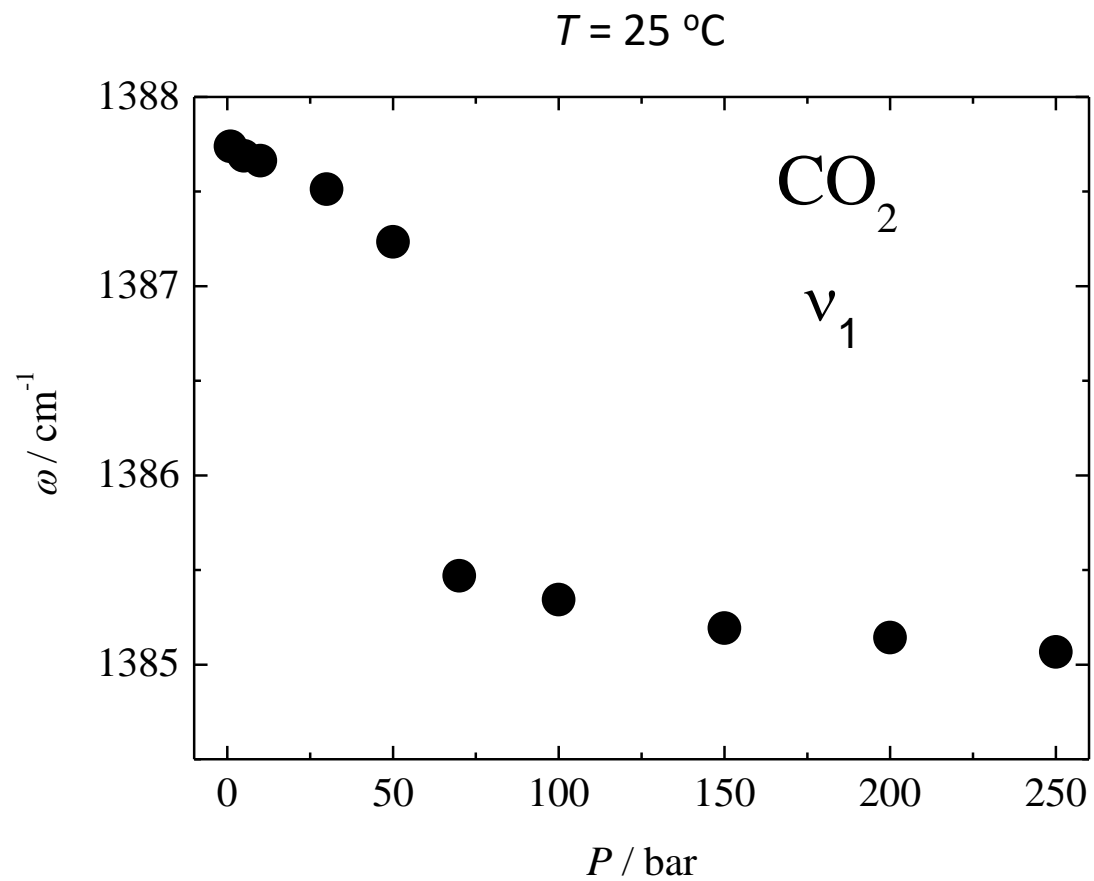


ESPECTROSCOPIA VIBRACIONAL DE LÍQUIDOS

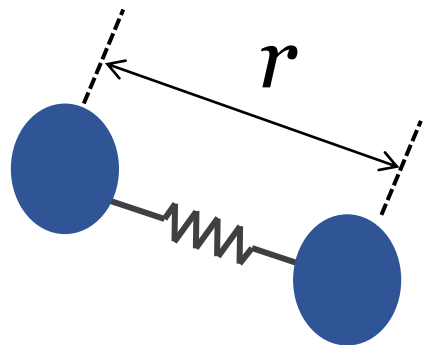
Prof. Dr. Mauro C. C. Ribeiro

(mccribei@iq.usp.br)



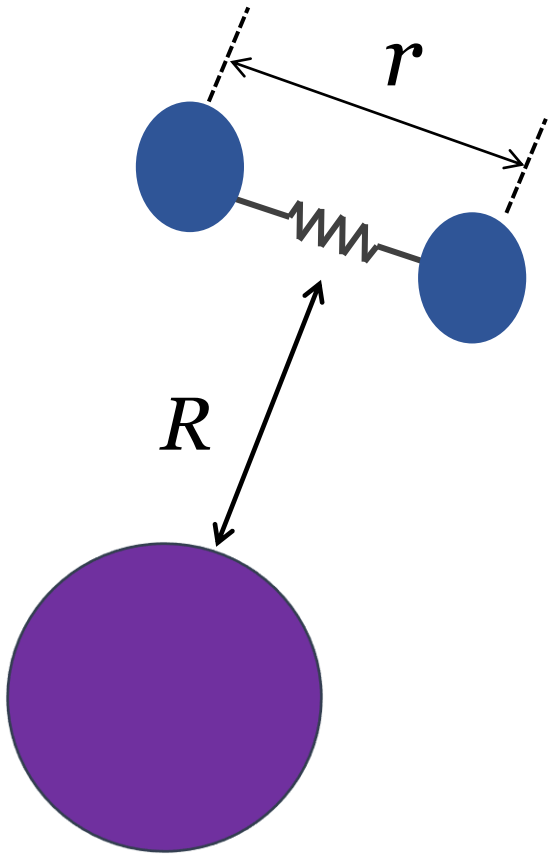


Oscilador Harmônico



$$V(r) = \frac{1}{2}k(r - r_e)^2$$

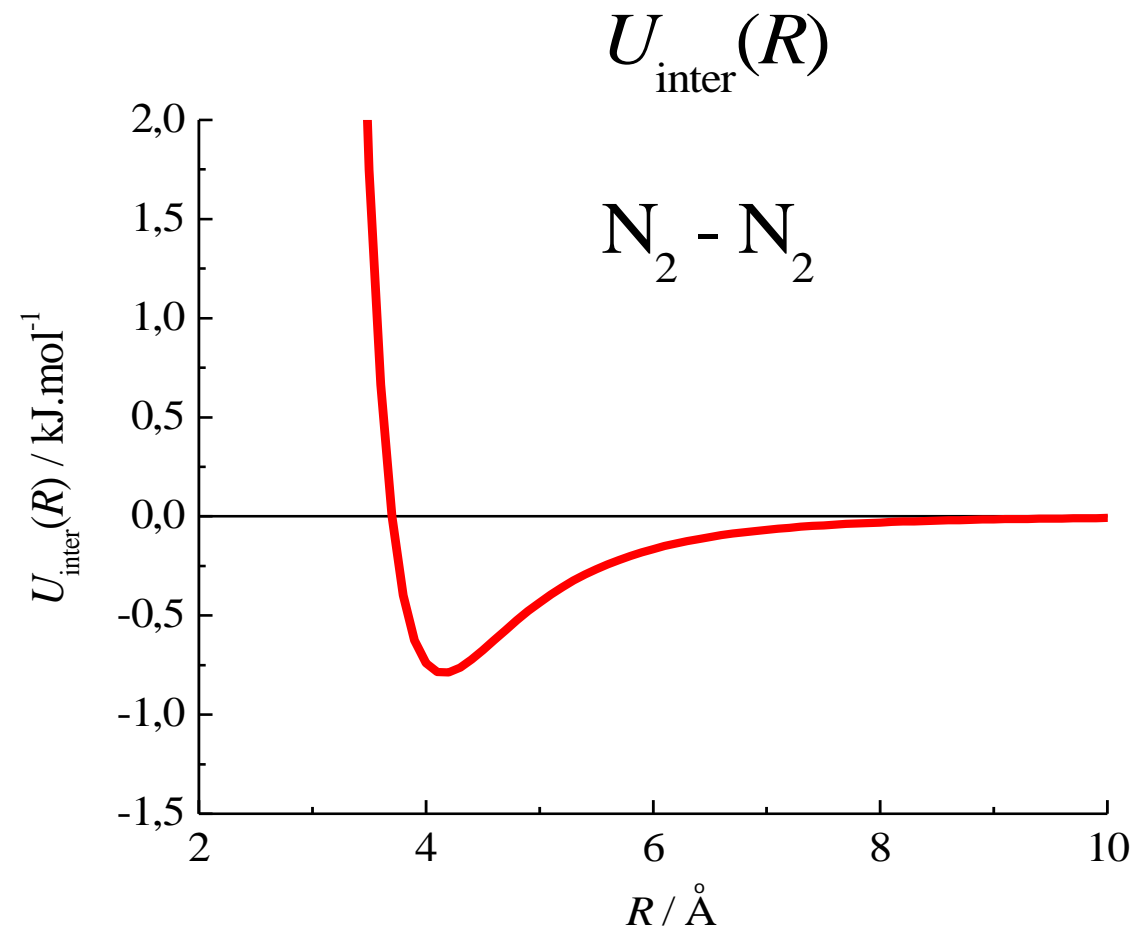
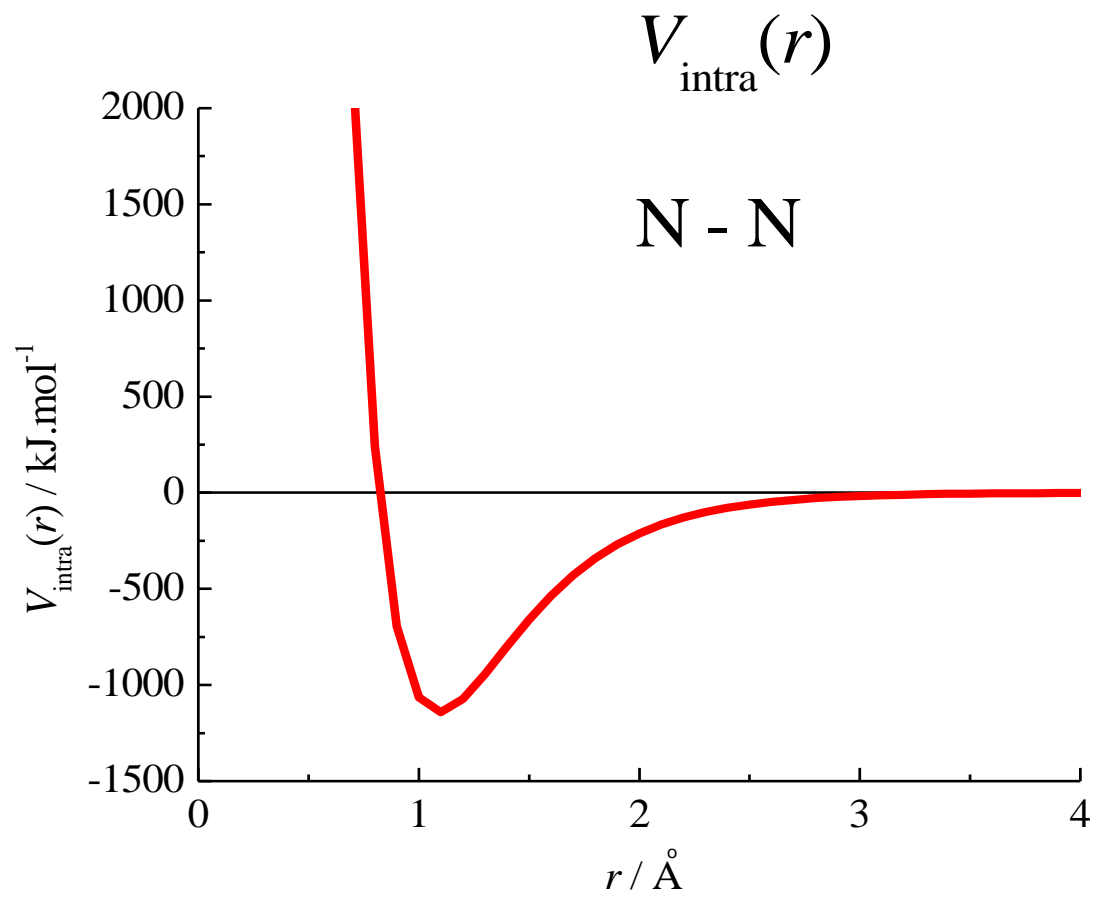
Oscilador Anarmônico



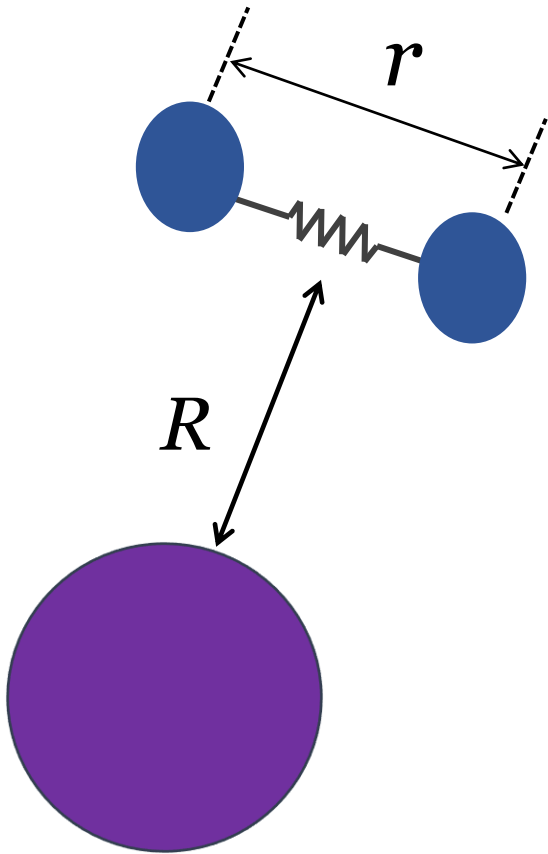
$$V(r) = \frac{1}{2}k(r - r_e)^2 + \frac{1}{6}g(r - r_e)^3 + \dots$$

$$k = \left(\frac{d^2V}{dr^2}\right)_{r_e} \quad \left(\frac{dV}{dr}\right)_{r_e} = 0$$

$U(R, r)$



Oscilador Anarmônico



$$V(r) = \frac{1}{2}k(r - r_e)^2 + \frac{1}{6}g(r - r_e)^3 + \dots$$

$$k = \left(\frac{d^2V}{dr^2} \right)_{r_e} \quad \left(\frac{dV}{dr} \right)_{r_e} = 0$$

$$v_o = \frac{1}{2\pi} \left(\frac{k}{\mu} \right)^{1/2}$$

$$4\pi^2 \mu v_o^2 = \left(\frac{d^2V}{dr^2} \right)_{r_e}$$

$$U(R, r) = F(r - r_e) + \frac{1}{2}G(r - r_e)^2 + \dots$$

$$F = \left\langle \left(\frac{dU}{dr} \right)_{r_e} \right\rangle$$

$$4\pi^2 \mu v^2 = \left(\frac{d^2(V + U)}{dr^2} \right)_{r'_e}$$

$$\left(\frac{d(V + U)}{dr} \right)_{r'_e} = 0$$

Desvio de frequência vibracional

$$\frac{\nu - \nu_0}{\nu_0} = \frac{1}{2} \left(-\frac{g}{k^2} F + \frac{G}{k} \right)$$

$$V(r) = \frac{1}{2} k (r - r_e)^2 + \frac{1}{6} g (r - r_e)^3 + \dots$$

$$U(R, r) = F (r - r_e) + \frac{1}{2} G (r - r_e)^2 + \dots$$

Teoria quântica do desvio de frequência vibracional

transição entre níveis vibracionais $n \rightarrow m$:

$$\frac{\nu - \nu_0}{\nu_0} = (m - n) \frac{1}{2} \left(-\frac{g}{k^2} F + \frac{G}{k} \right)$$

I₂- UMA MOLÉCULA DIDÁTICA

Oswaldo Sala

Departamento de Química Fundamental, Universidade de São Paulo, CP 26077, 05513-970 São Paulo - SP

Recebido em 14/6/07; aceito em 11/10/07; publicado na web em 10/3/08

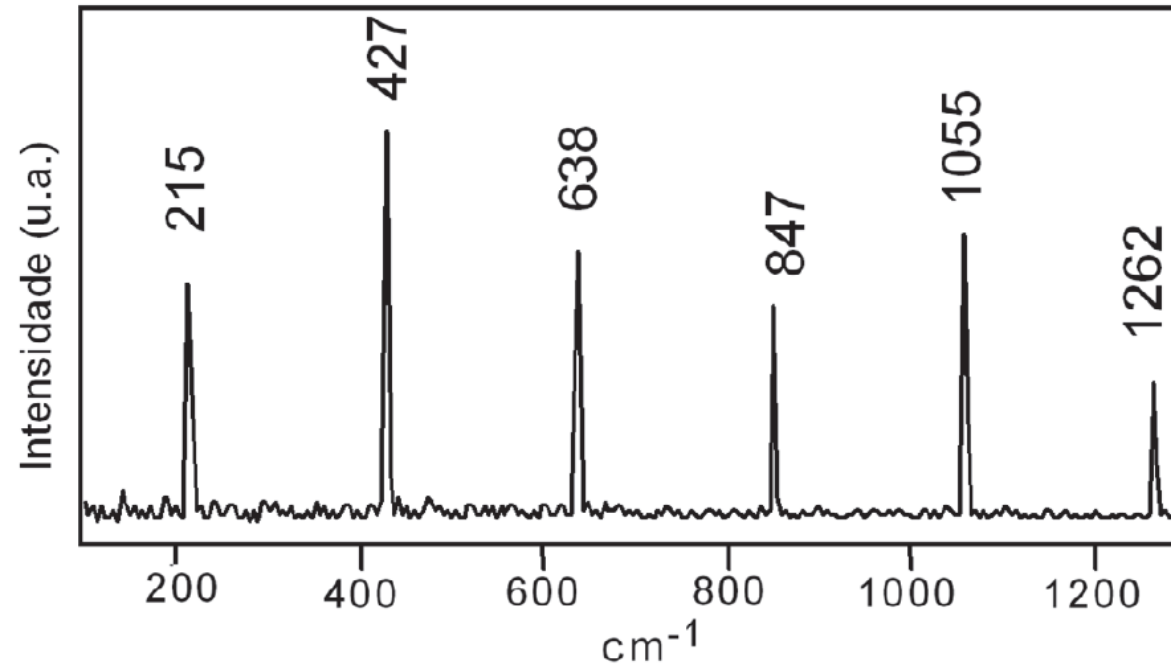
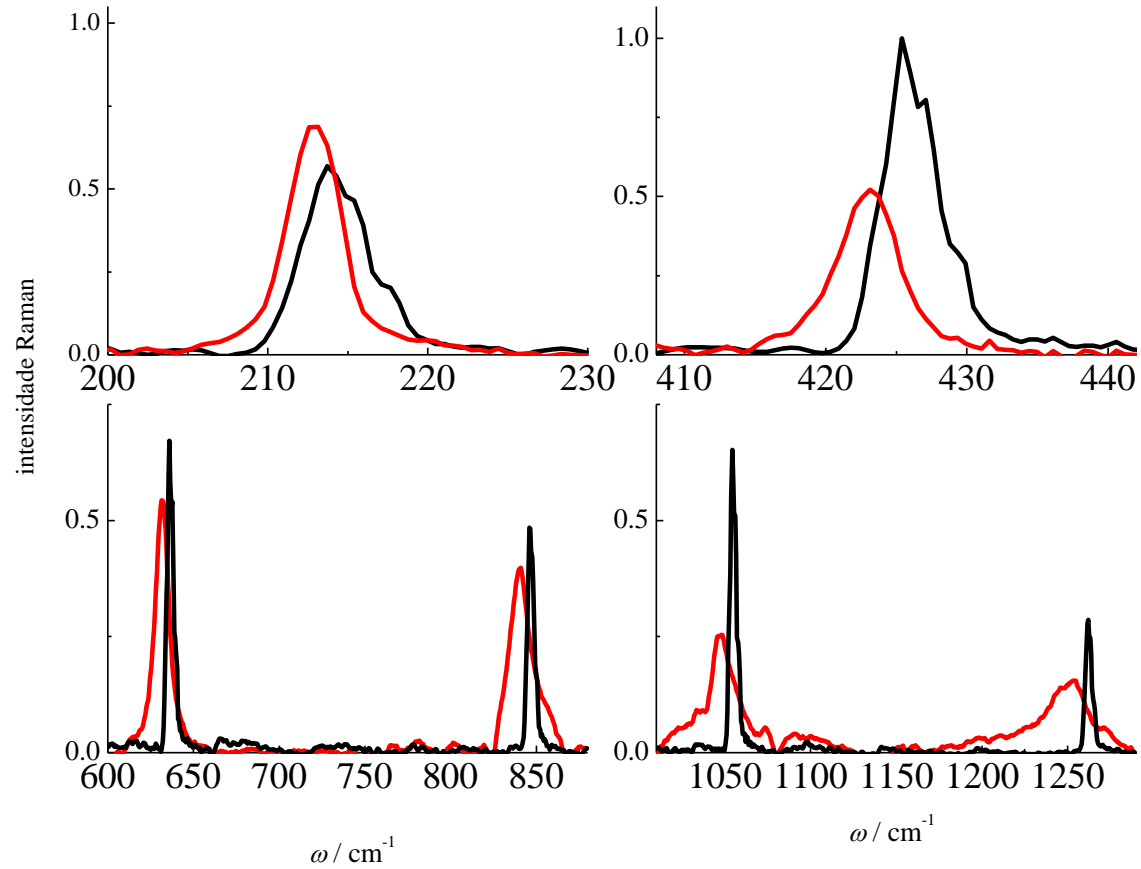


Figura 4. Espectro Raman ressonante do vapor de iodo, excitação 514 nm, mostrando a banda fundamental (215 cm⁻¹) e algumas das harmônicas

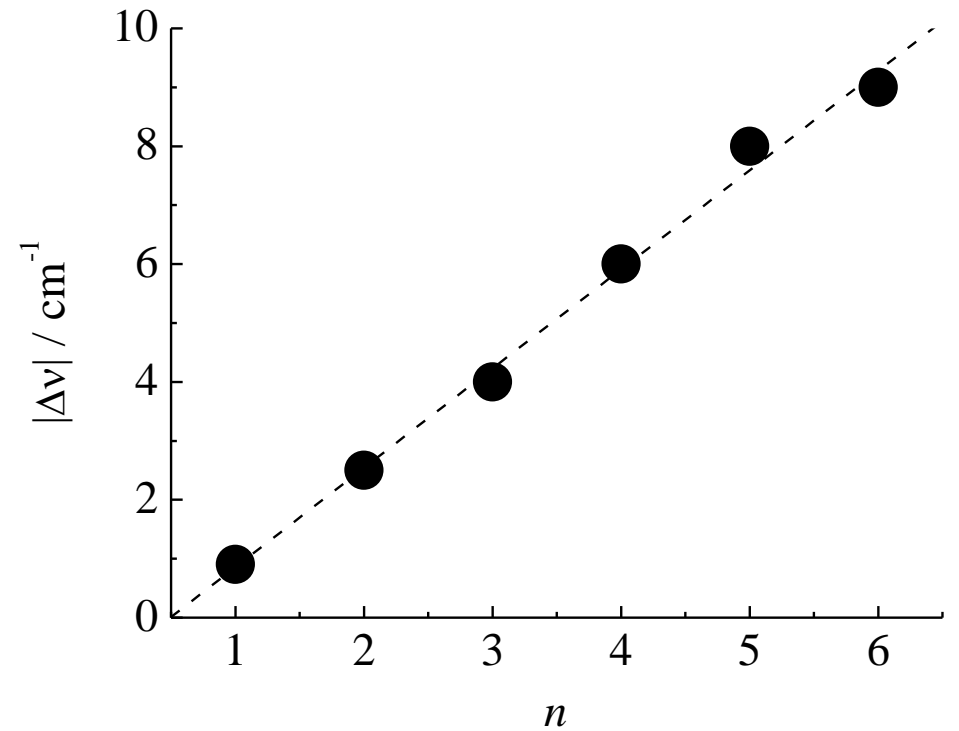
Desvio de frequência vibracional de I₂ em solução

solução em *n*-hexano

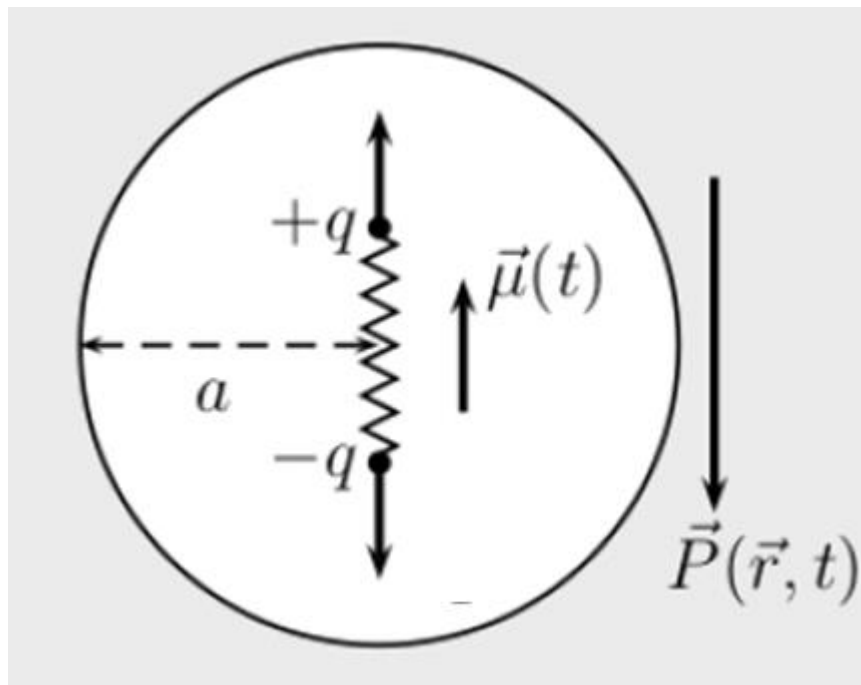
vapor



Δν para várias harmônicas

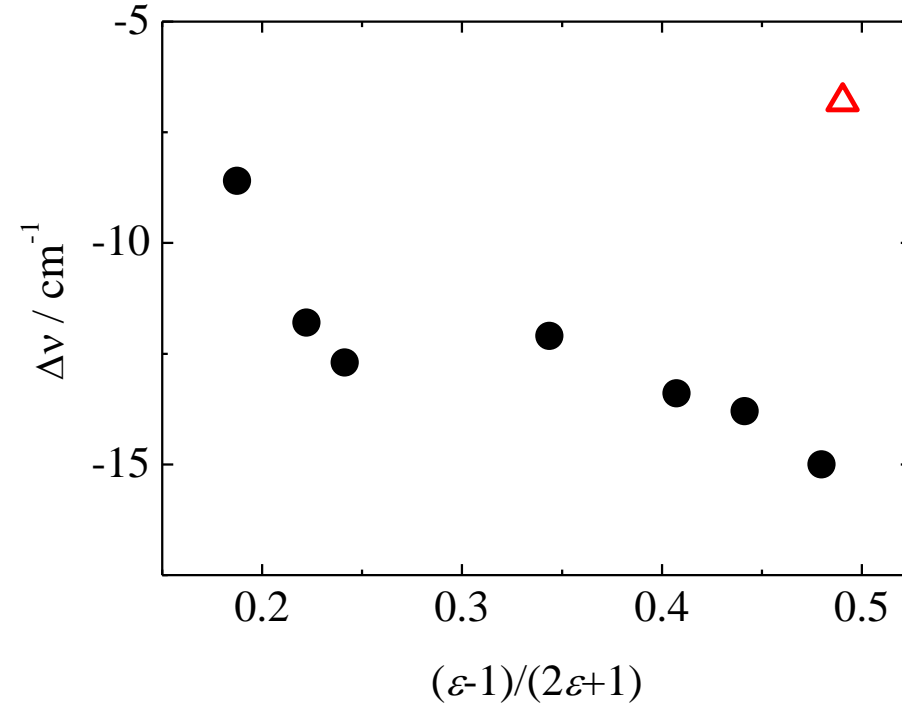
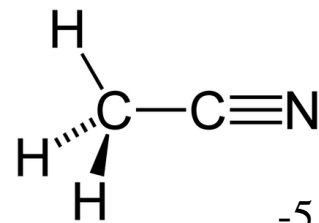
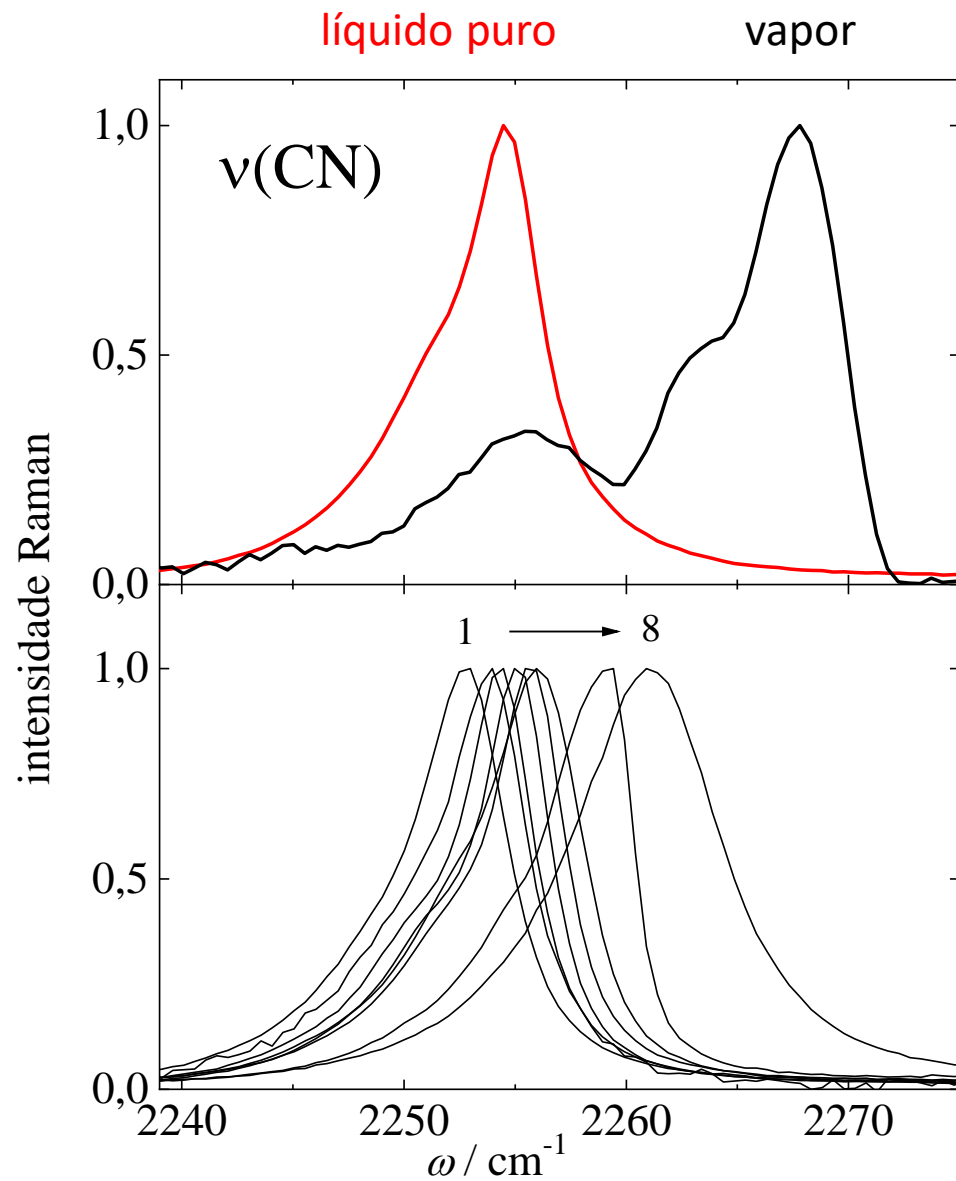


Líquido como meio contínuo



Constante dielétrica, ϵ

$$\frac{\Delta v}{v_o} \propto \frac{\epsilon - 1}{2\epsilon + 1}$$



Soluções de CH_3CN em:

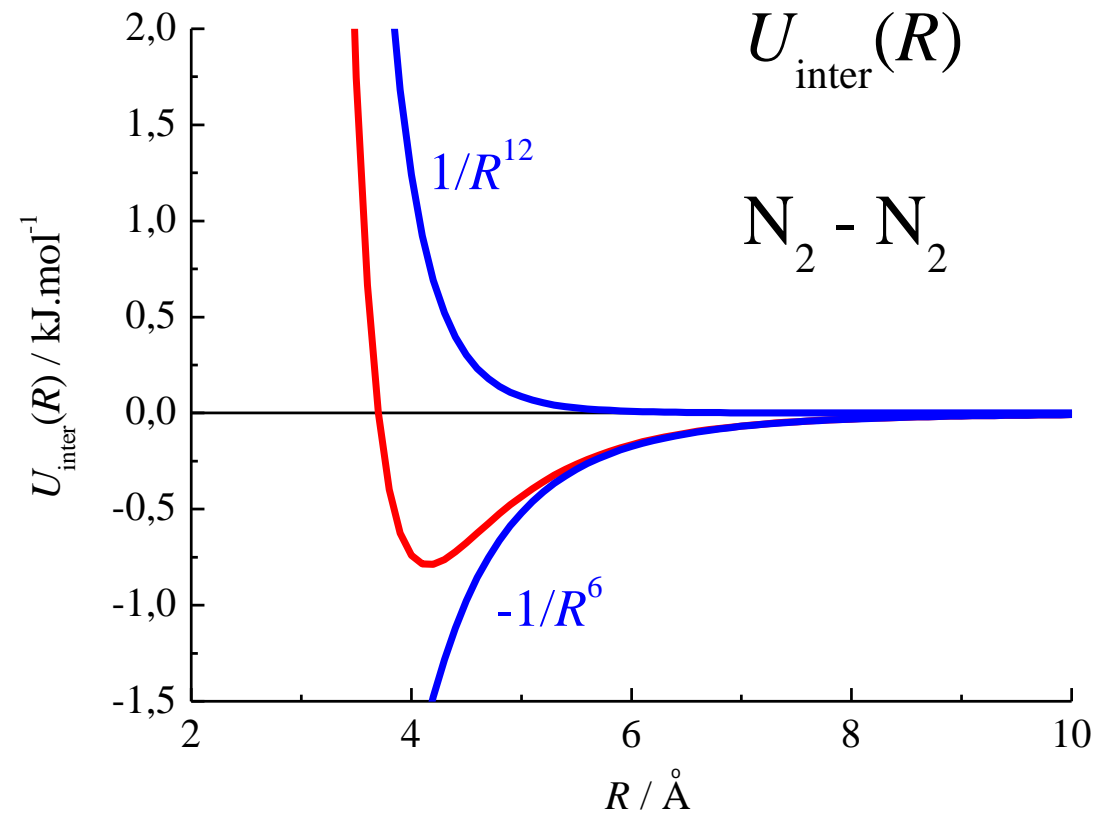
1, dimetilformamida ($\epsilon = 36,7$); 2, piridina ($\epsilon = 12,3$);

3, tetrahydrofurano ($\epsilon = 7,6$); 4, tolueno ($\epsilon = 2,4$);

5, dietiléter ($\epsilon = 4,3$); 6, tetracloreto de carbono ($\epsilon = 2,2$);

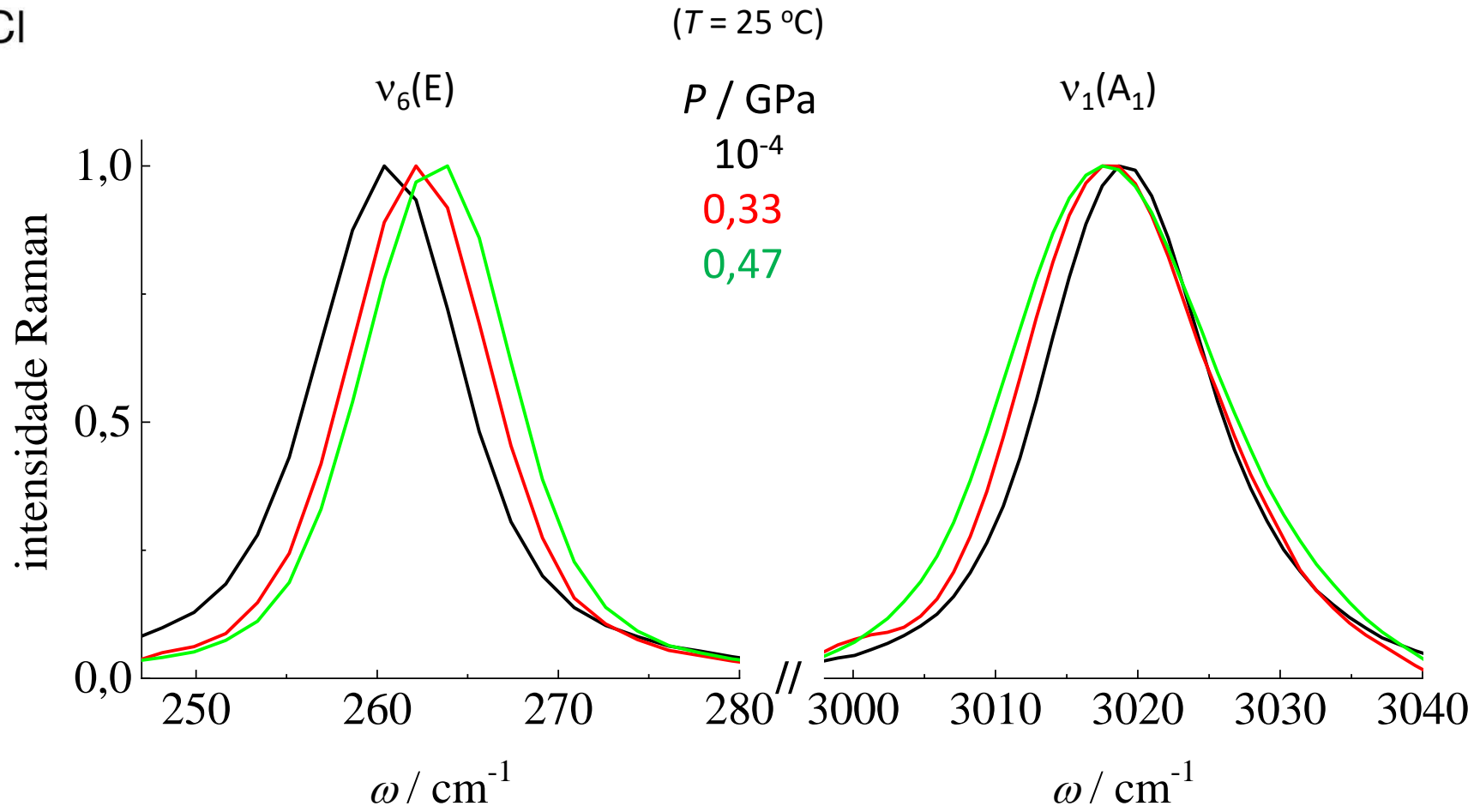
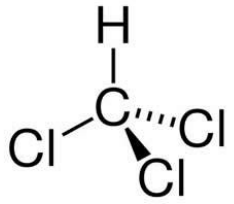
7, hexano ($\epsilon = 1,9$); 8, H_2O ($\epsilon = 78,3$).

Forças intermoleculares atrativas e repulsivas



$$\Delta v_{\text{total}} = \Delta v_{\text{attract.}} + \Delta v_{\text{repuls.}}$$

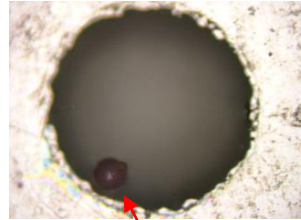
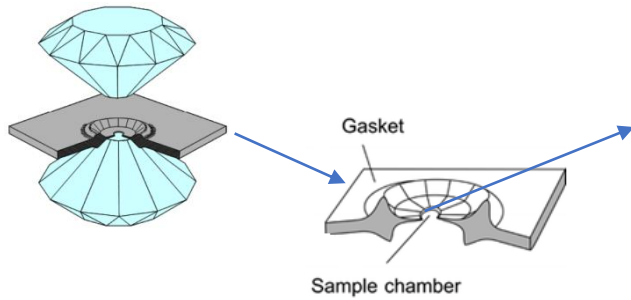
< 0 > 0



(1 GPa \cong 10000 atm)

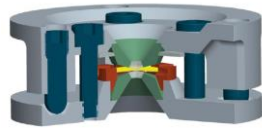
Espectroscopia Vibracional em Alta Pressão

diamond anvil cell (DAC)

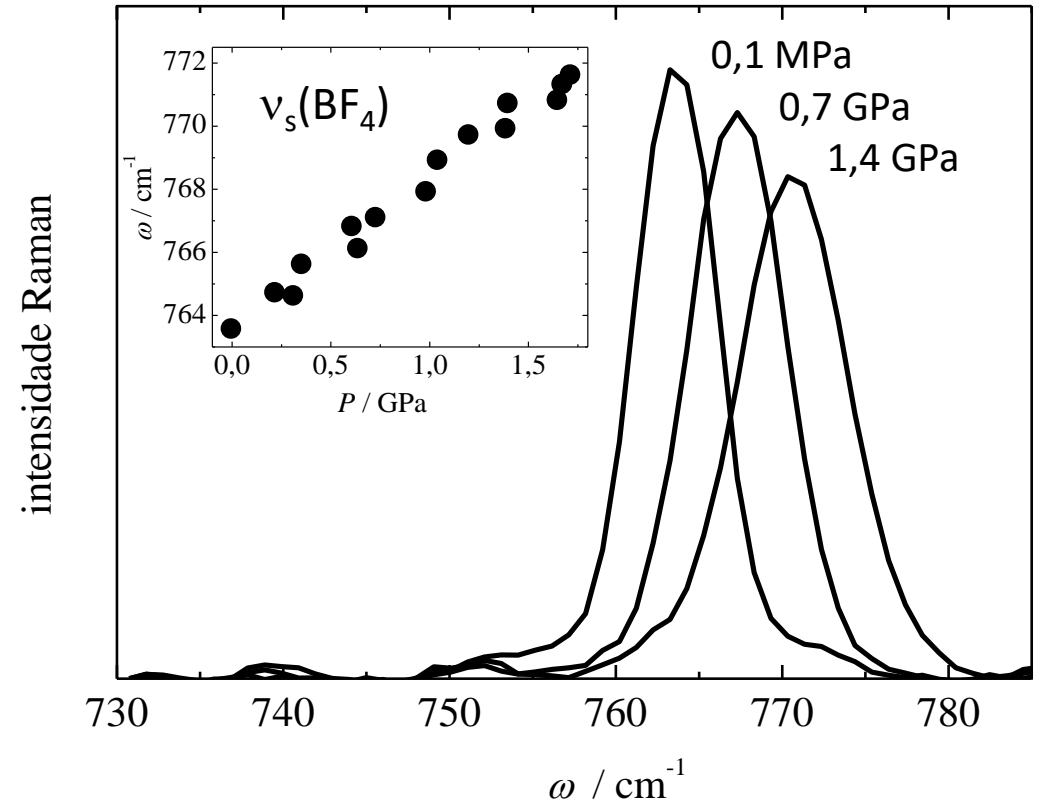
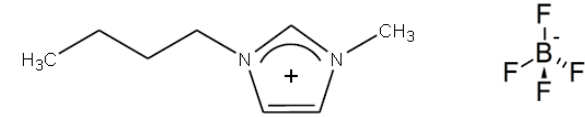


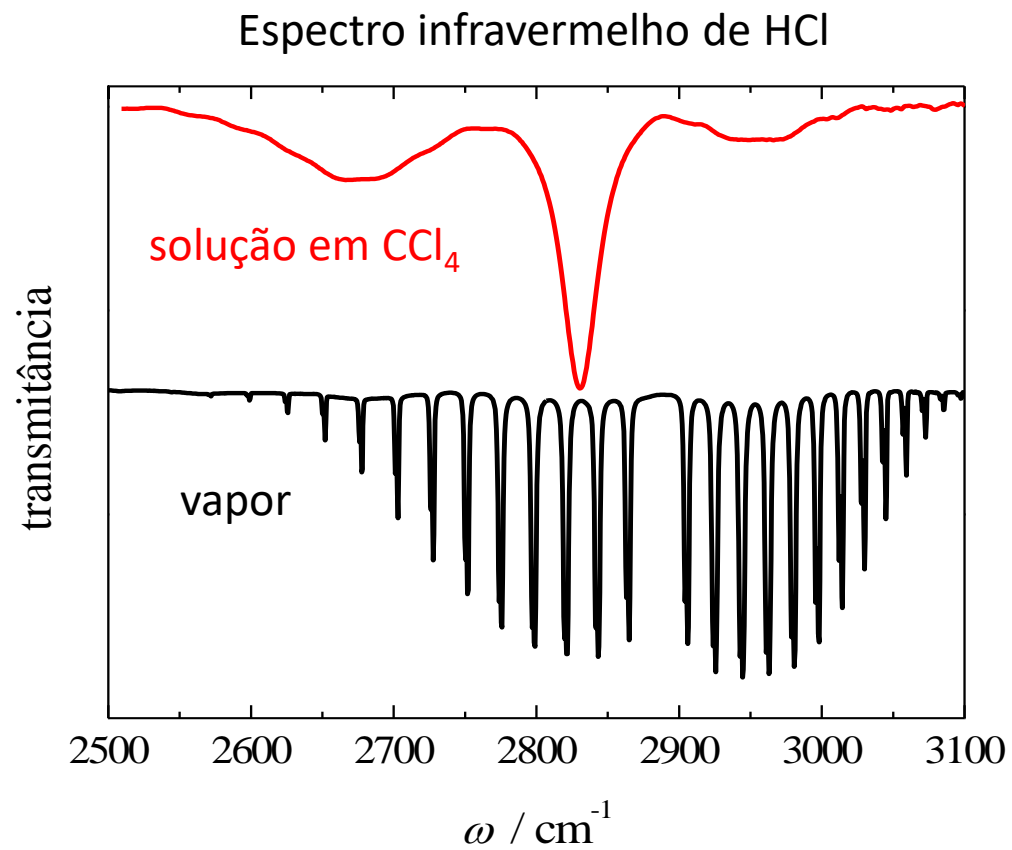
rubi

Ruby fluorescence
 $7.7 \text{ cm}^{-1}/\text{GPa}$

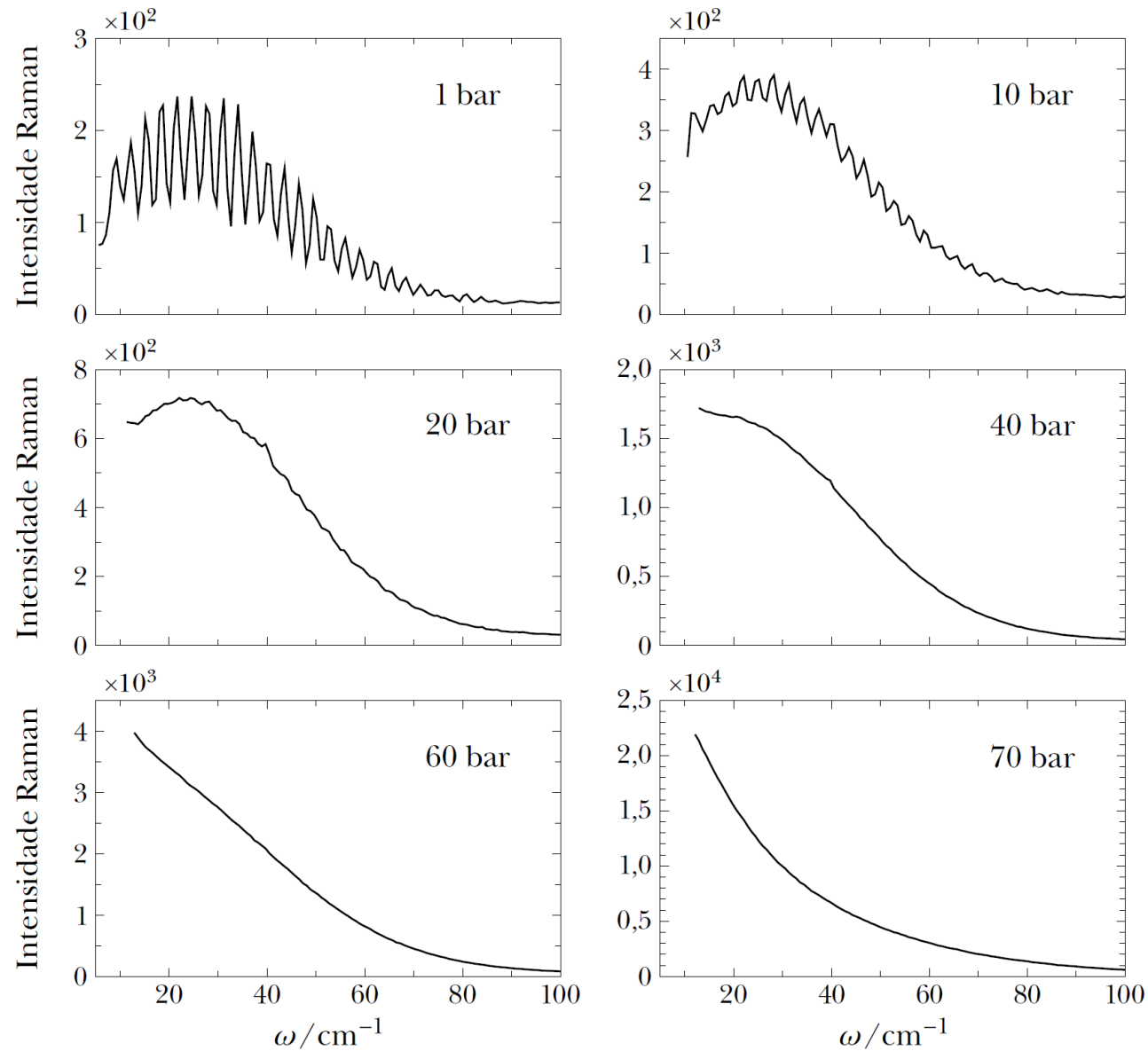


(1 GPa \cong 10000 atm)





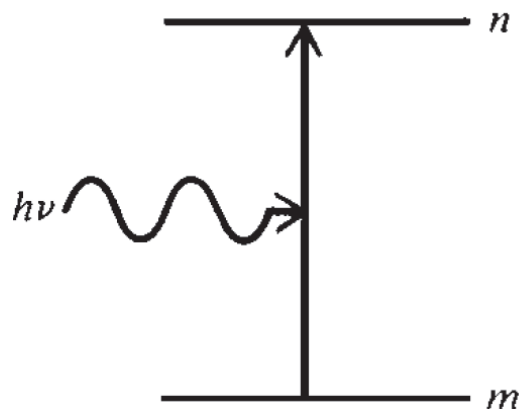
CO_2 ($T = 25\text{ }^\circ\text{C}$)



Atividade no IR

Níveis de energia do oscilador harmônico:

$$E_v = hv(v + \frac{1}{2}), \quad v = 0, 1, 2, \dots$$

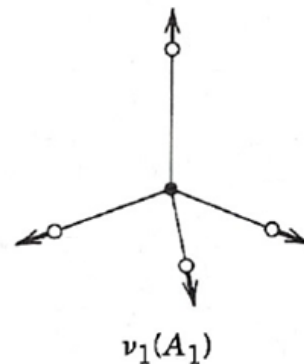


$$E_n - E_m = hv$$

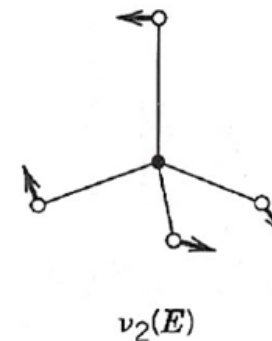
$$\mu[R(t)]$$

Variação do momento de dipolo elétrico com a vibração:

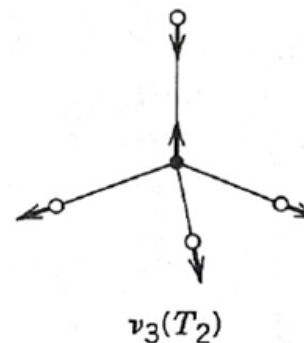
$$\mu = \mu_e + \left(\frac{d\mu}{dx} \right)_e x + \dots$$



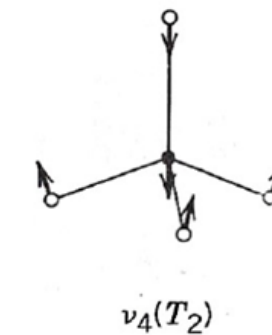
Raman



Raman



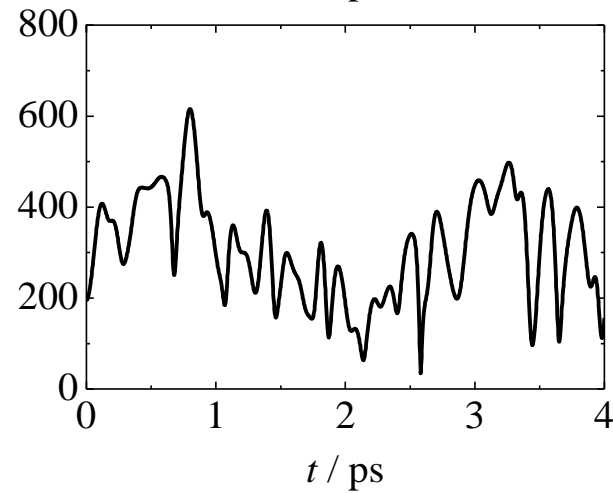
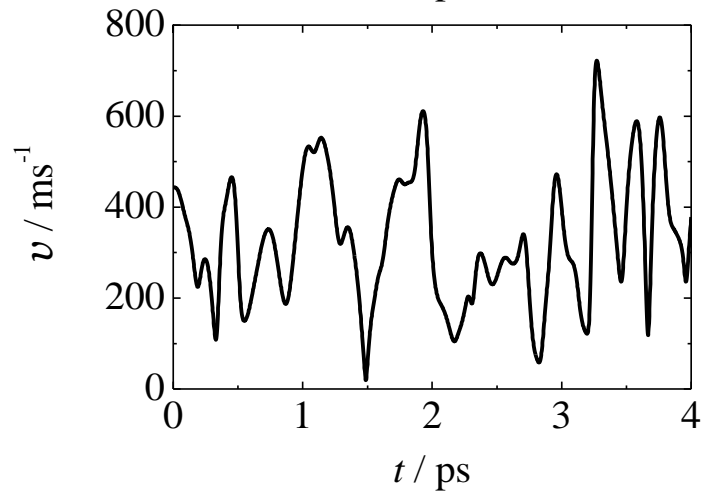
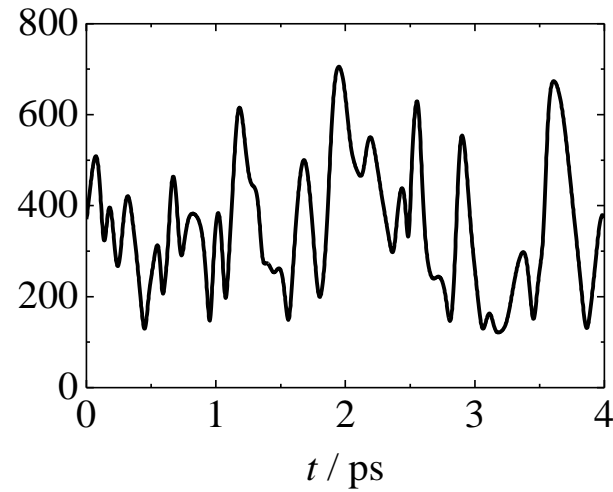
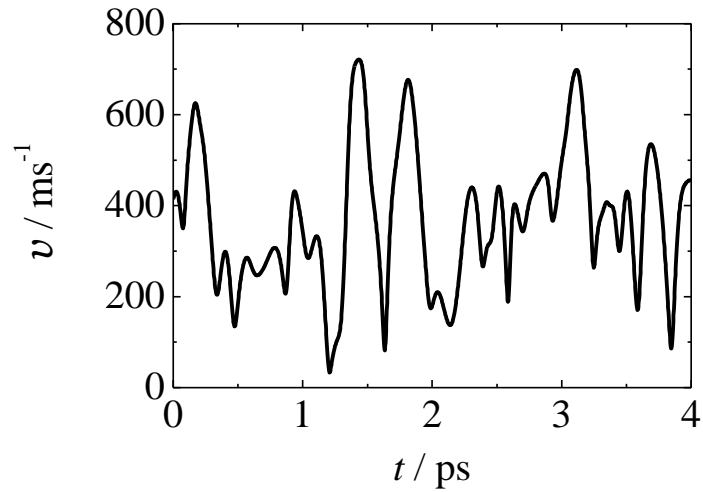
IR
Raman



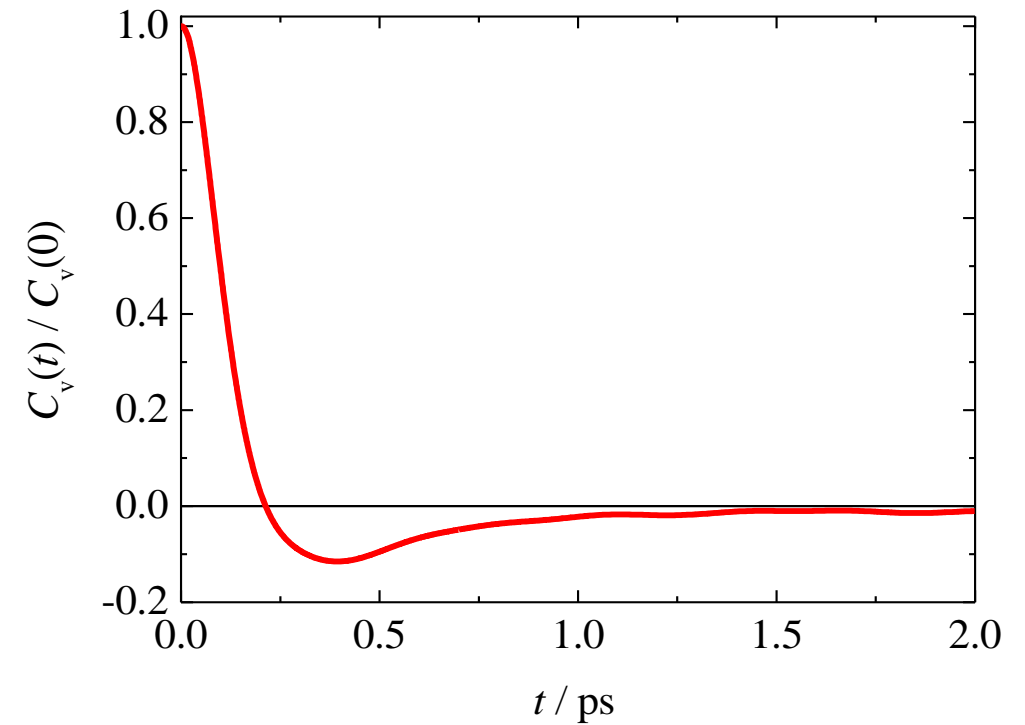
IR
Raman

Função de Correlação no Tempo

DMSO ($T = 25\text{ }^{\circ}\text{C}$)



$$C_{\mathbf{v}}(t) = \frac{1}{N} \sum_{i=1}^N \langle \mathbf{v}_i(0) \cdot \mathbf{v}_i(t) \rangle$$



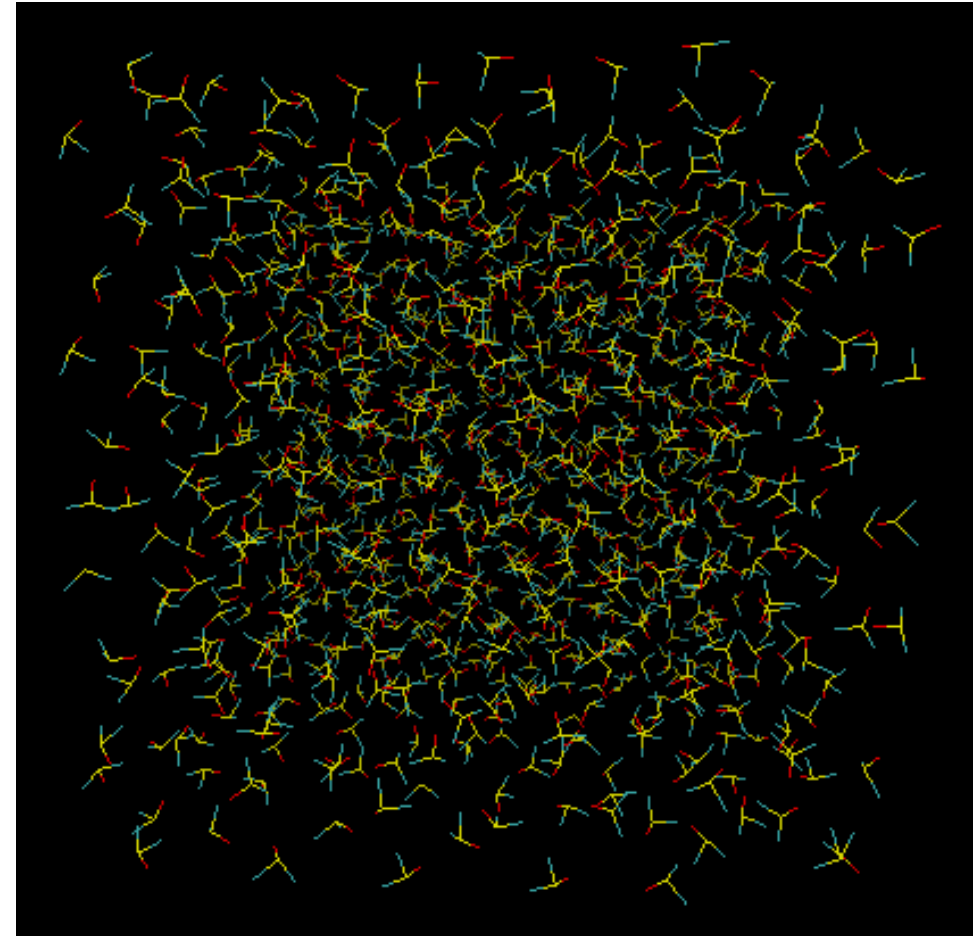
Cálculo de médias por Simulação Computacional

Simulação de líquidos por Dinâmica Molecular:

$$\mathbf{f}_i = m_i \ddot{\mathbf{R}}_i$$

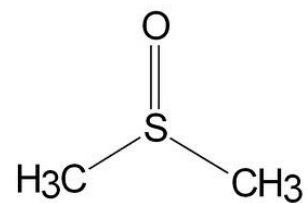
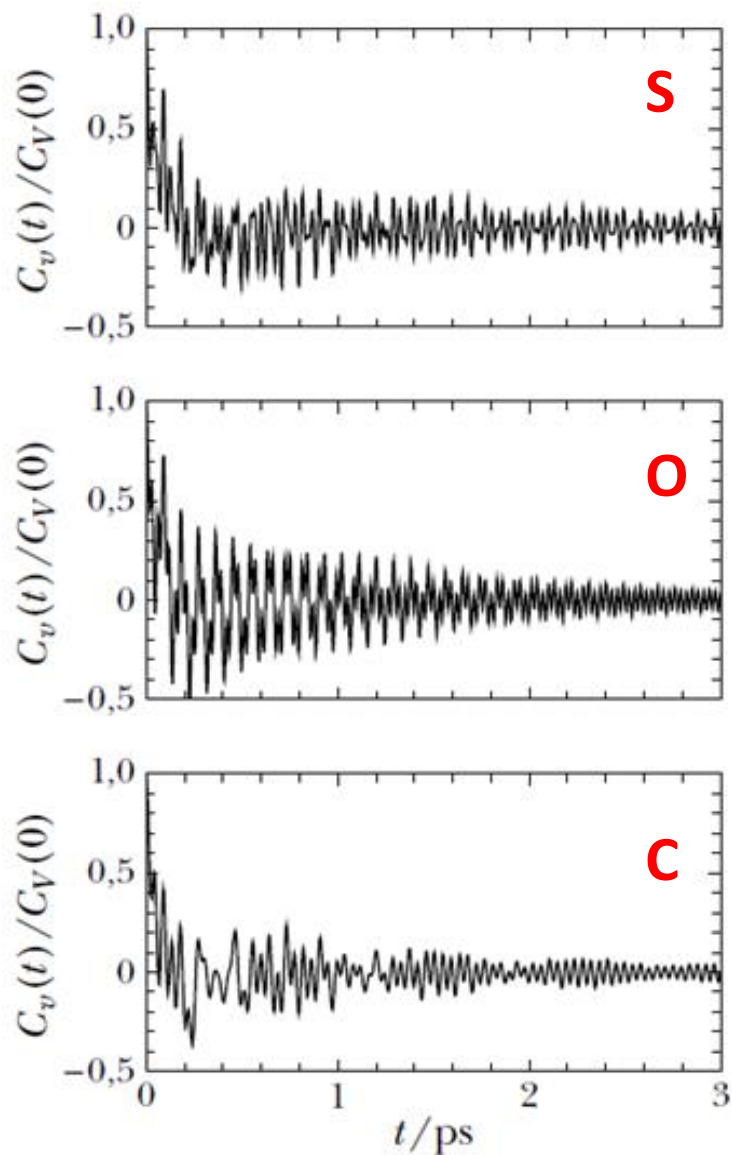


$$\{\mathbf{p}(t), \mathbf{R}(t)\} \rightarrow \{\mathbf{p}(t+\Delta t), \mathbf{R}(t+\Delta t)\}$$



Uma configuração instantânea de DMSO líquido

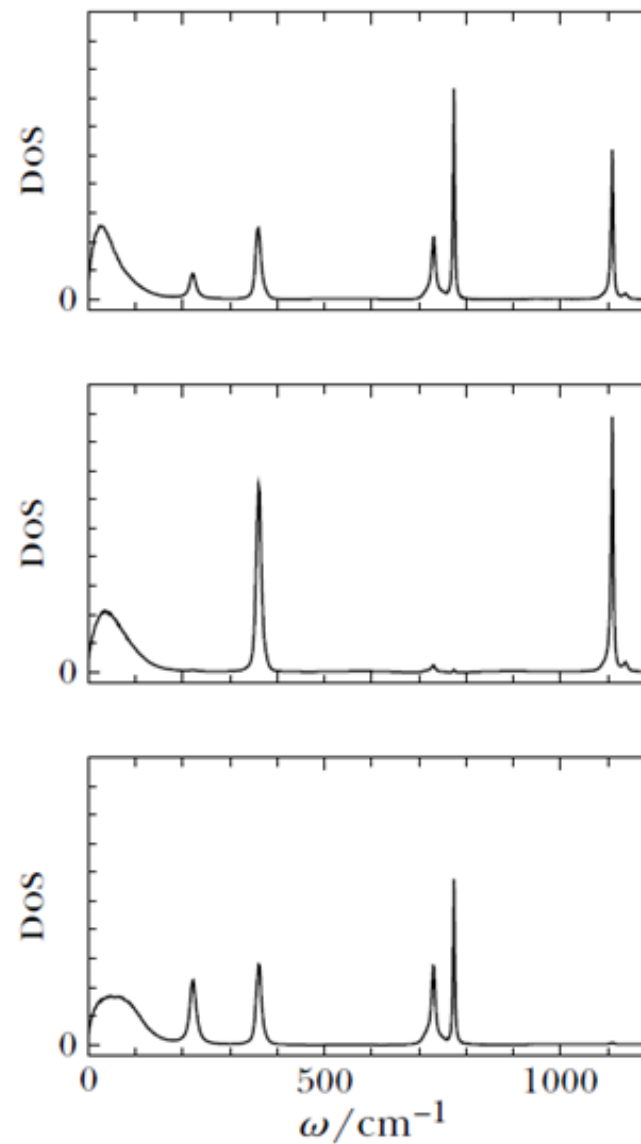
Função de correlação de velocidade



Transformada de Fourier




$$C(\omega) = \frac{1}{2\pi} \int_{-\infty}^{\infty} C(t) e^{-i\omega t} dt$$




Espectro IR e a Função de Correlação de Dipolo

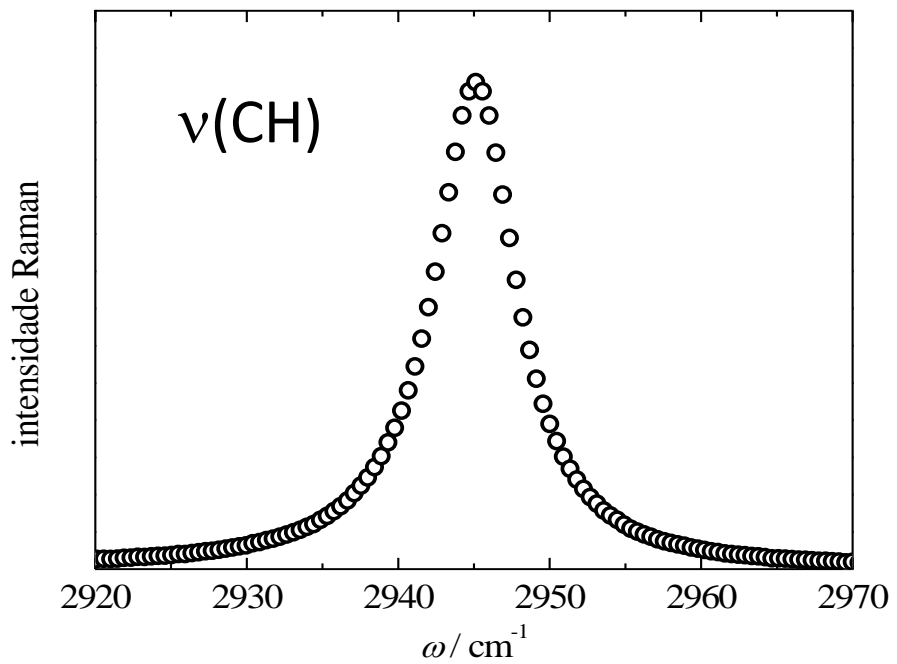
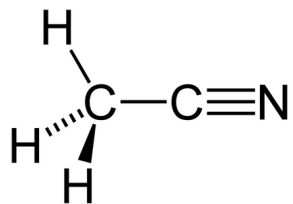
$$I(\omega) = \frac{1}{2\pi} \int_{-\infty}^{\infty} \langle \mathbf{M}(0) \cdot \mathbf{M}(t) \rangle e^{-i\omega t} dt$$


$$\mathbf{M}(0) \cdot \mathbf{M}(t) = \left(\sum_{i=1}^N \boldsymbol{\mu}_i(0) \right) \left(\sum_{j=1}^N \boldsymbol{\mu}_j(t) \right)$$

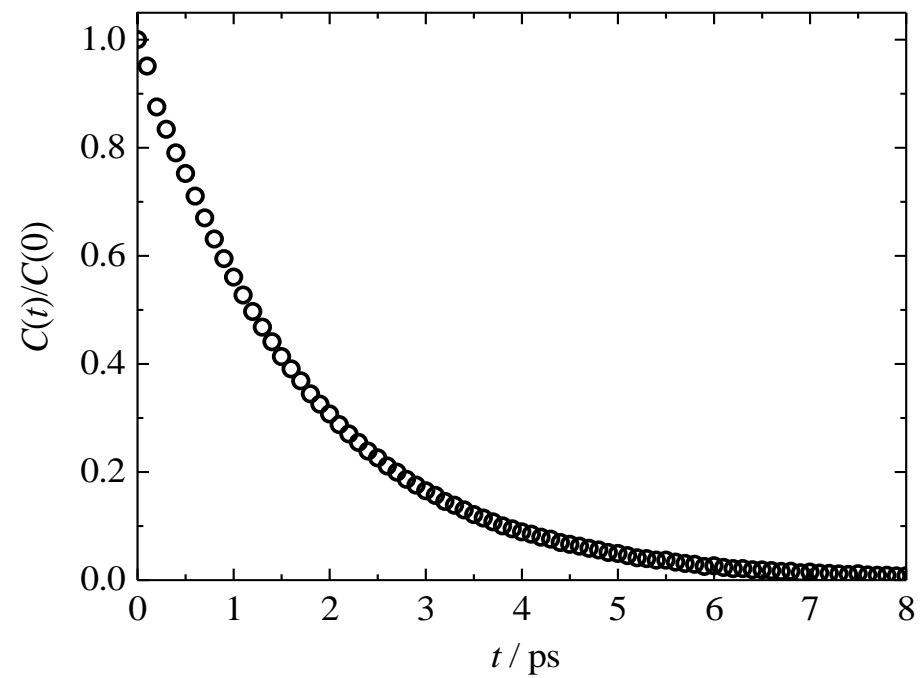
quando não há correlação entre $\boldsymbol{\mu}_i$ e $\boldsymbol{\mu}_j$


$$\langle \mathbf{M}(0) \cdot \mathbf{M}(t) \rangle = \left\langle \sum_{i=1}^N \boldsymbol{\mu}_i(0) \cdot \boldsymbol{\mu}_i(t) \right\rangle$$

Vibração de molécula isolada: $\boldsymbol{\mu}_i(t) = \left(\frac{d\boldsymbol{\mu}}{dQ} \right)_e Q(t) \propto \cos(2\pi\nu t)$



Transformada
de Fourier

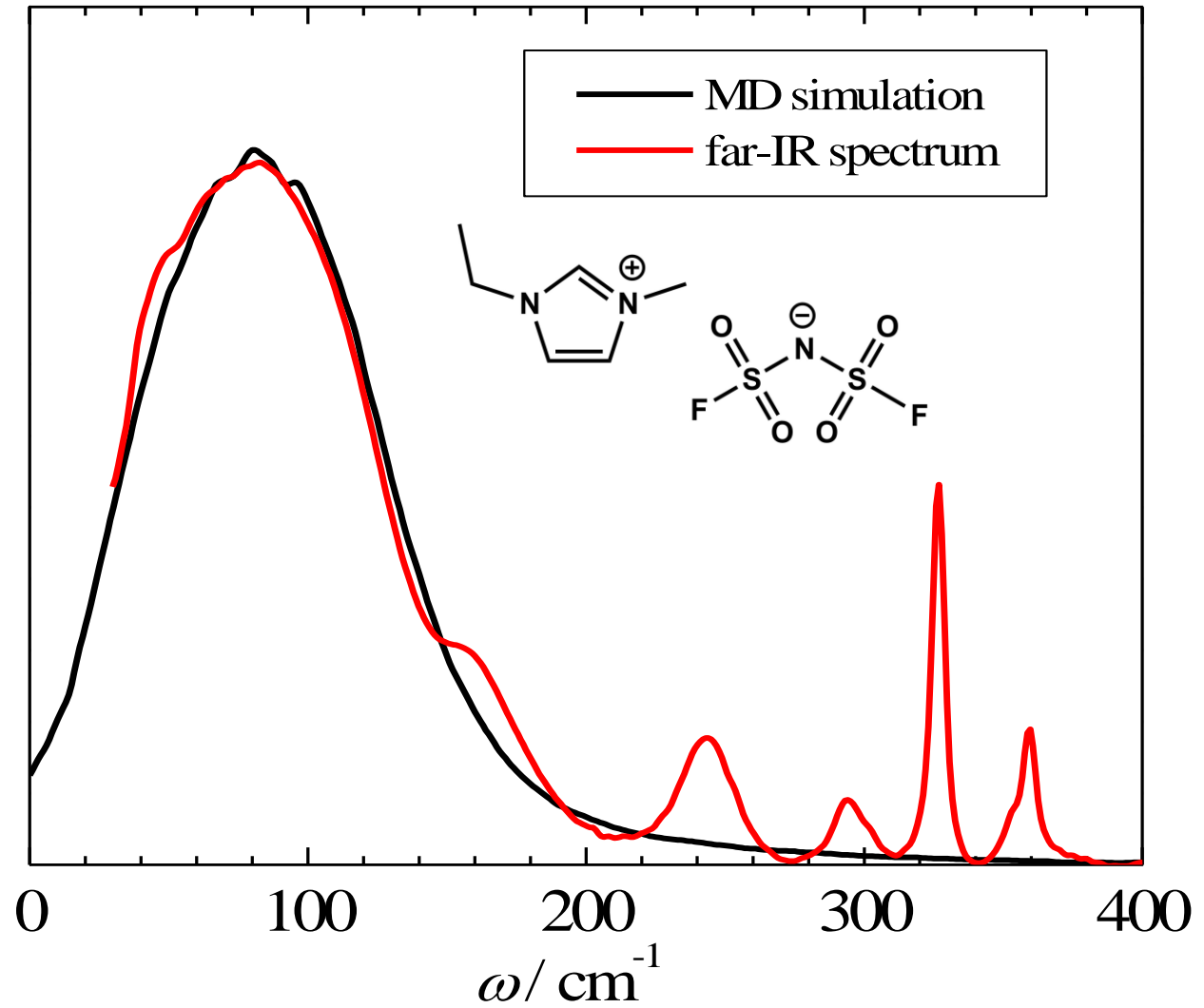


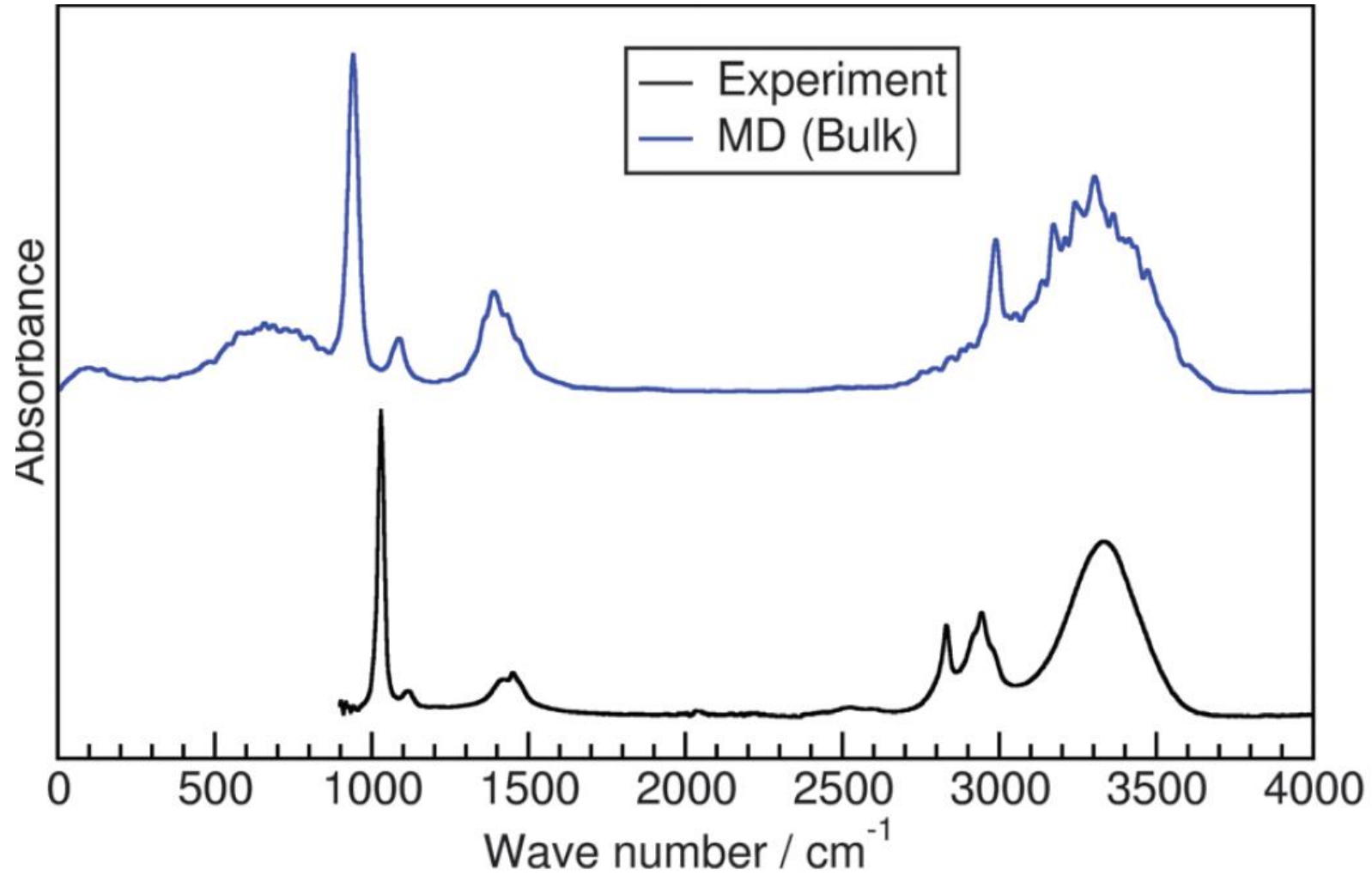
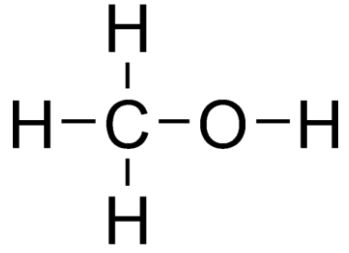
Espectro no Infravermelho Distante (far-IR)

Função de correlação no tempo
de corrente de carga:

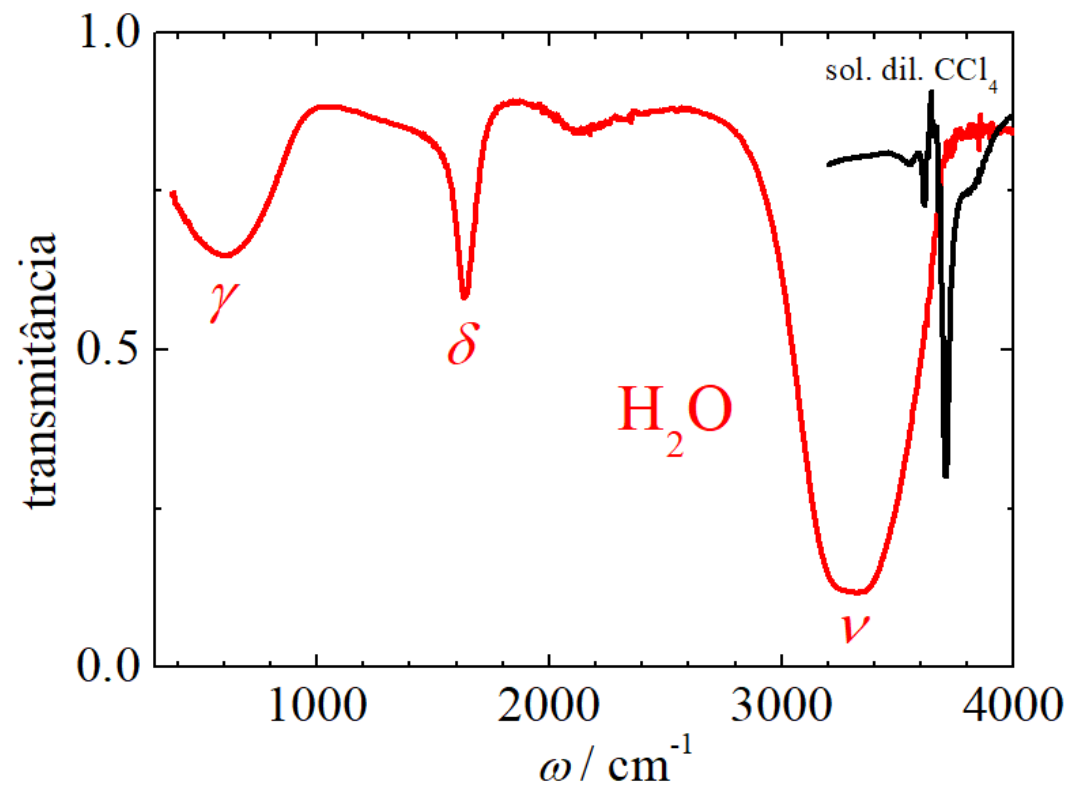
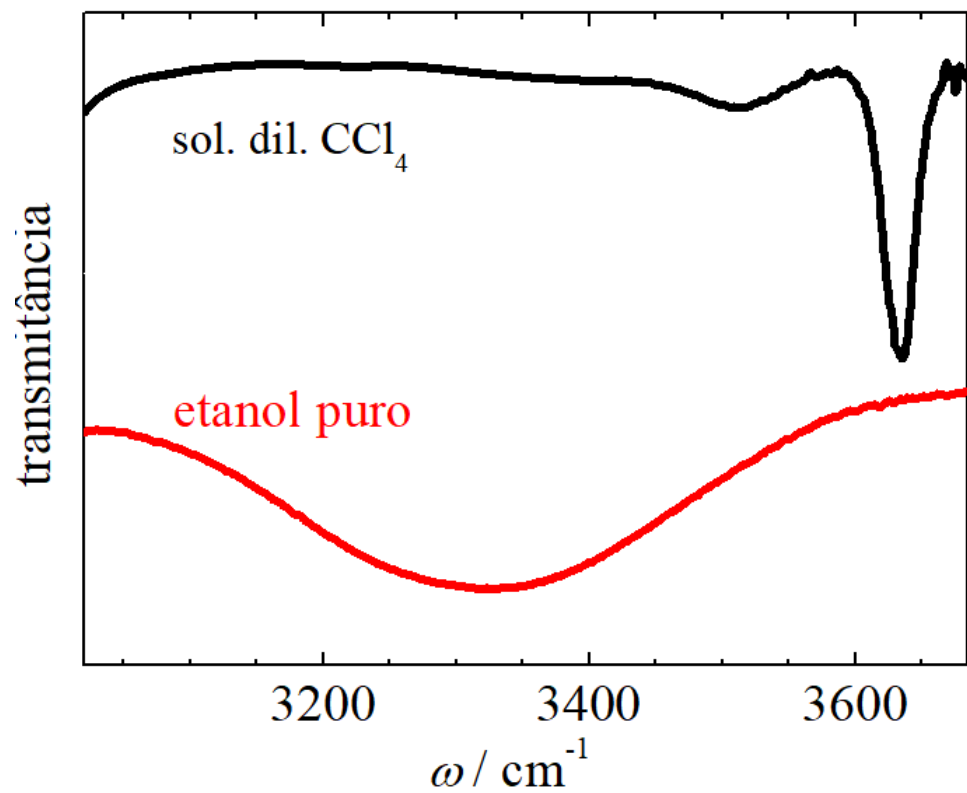
$$C_J(t) = \langle \mathbf{J}(0) \cdot \mathbf{J}(t) \rangle$$

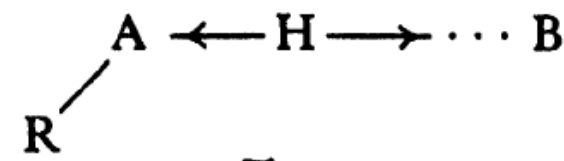
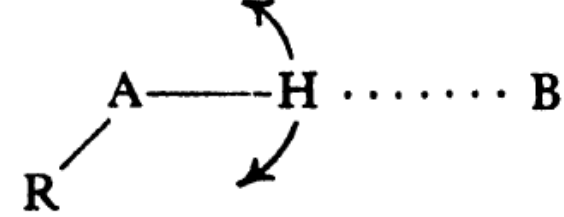
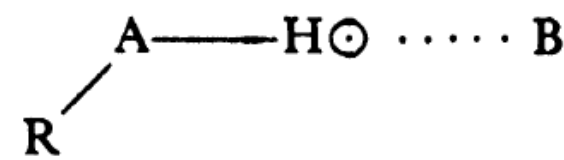
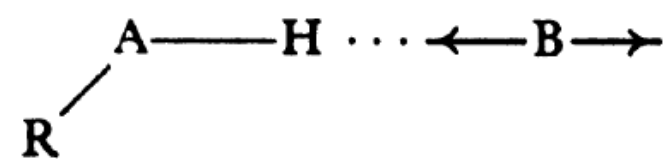
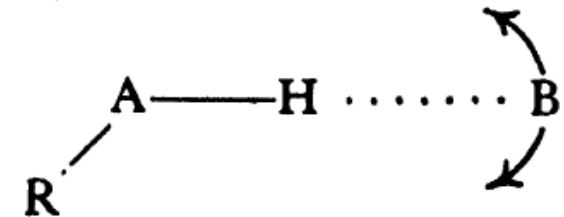
$$\mathbf{J}(t) = \sum_i q_i \mathbf{v}_i(t)$$





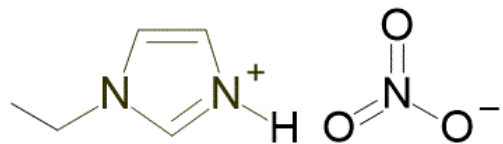
Espectroscopia Infravermelho e Ligação de Hidrogênio



ν_s		A—H stretch 3500–2500 cm^{-1}
ν_b		R—A—H bend (in-plane) 1700–1000 cm^{-1}
ν_t		R—A—H torsion ^a (out-of-plane) 900–300 cm^{-1}
ν_σ		A ... B stretch (250–50 cm^{-1} , 40–200 μ)
ν_β		A—H ... B bend < 50 cm^{-1}

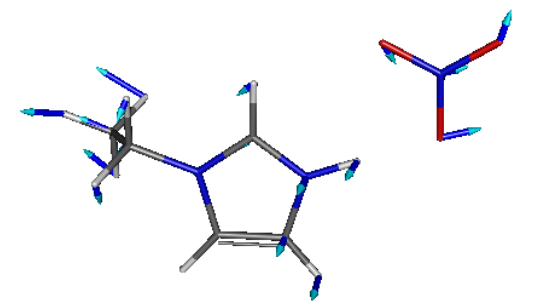
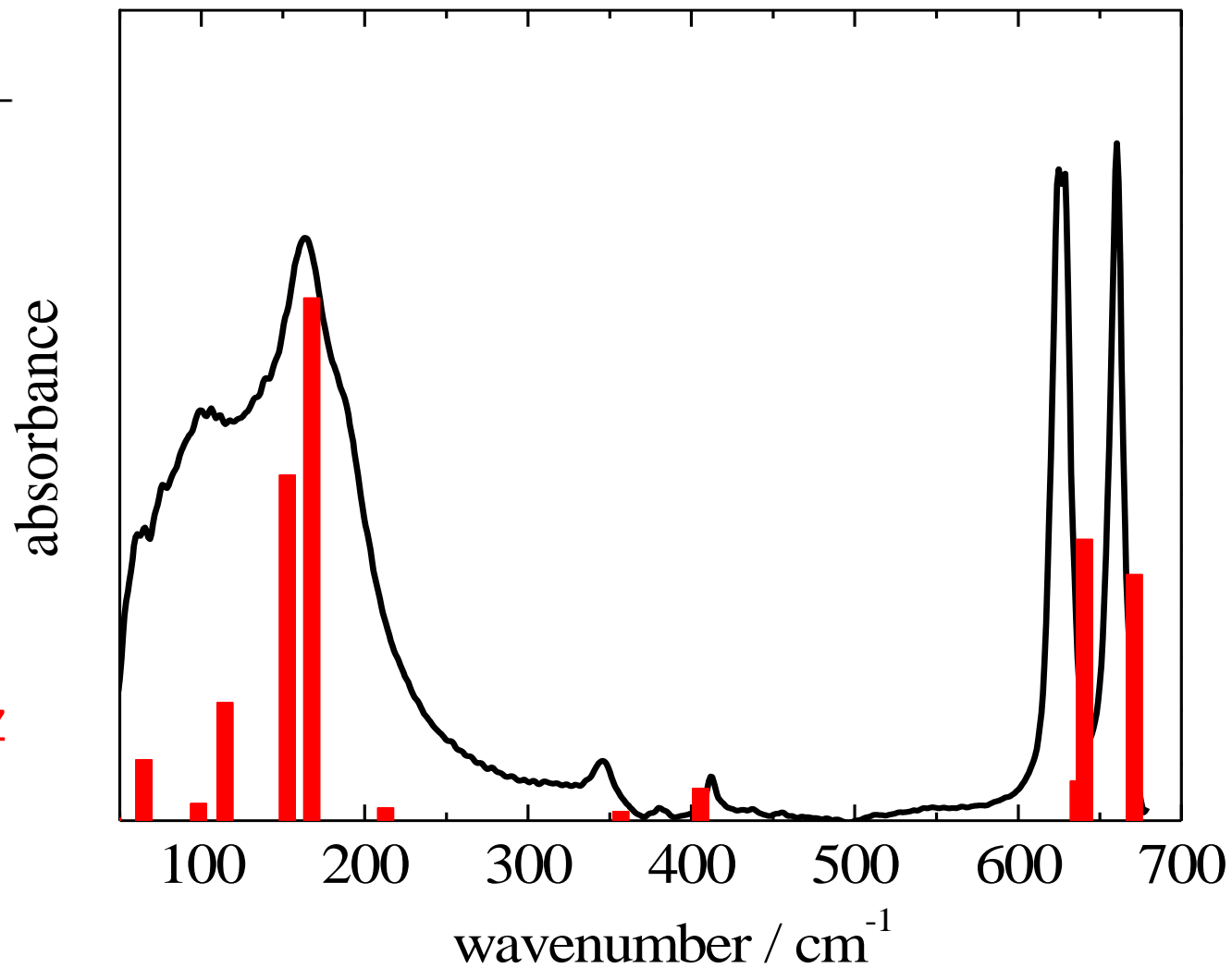
^a The symbol \odot indicates a vibrational movement of the hydrogen atom perpendicular to the RAB plane.

Espectro no Infravermelho Distante (far-IR)

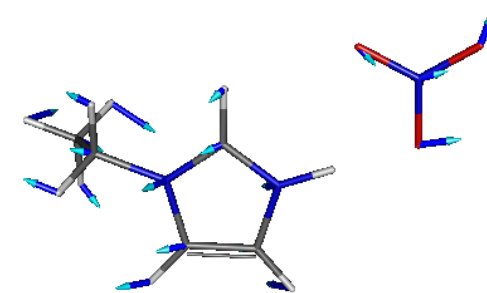


1-ethylimidazole nitrate

DFT
B3LYP-D3/aug-cc-PVDZ
CPCM, $\epsilon = 24.3$

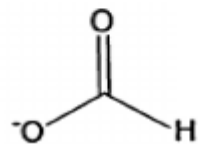
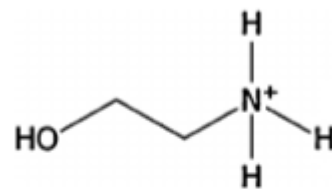
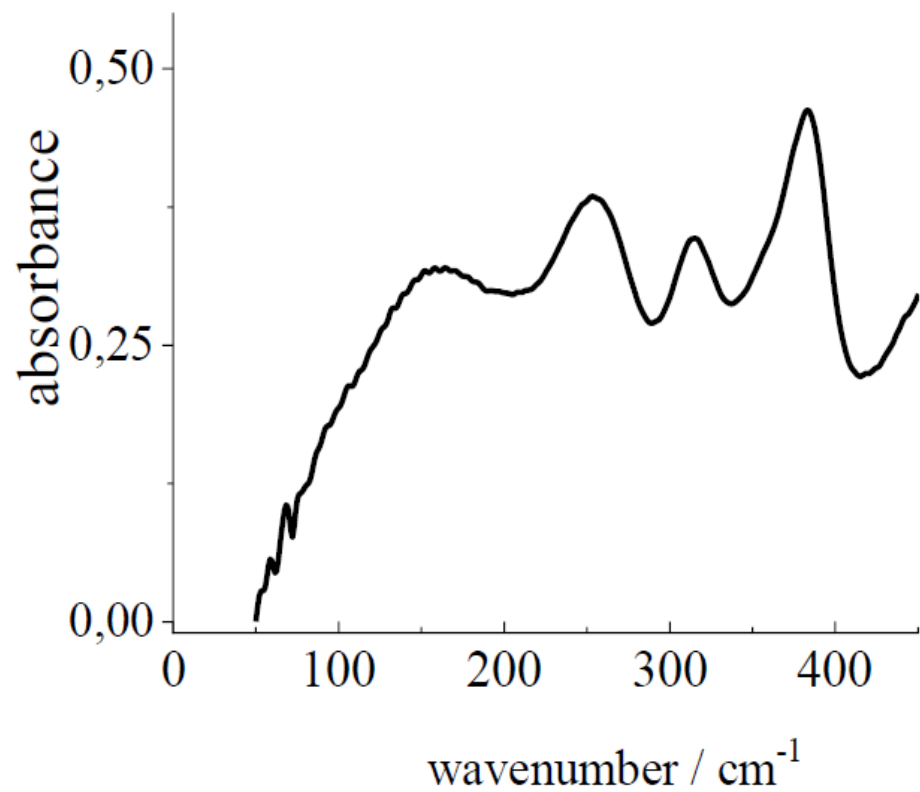


153 cm^{-1}

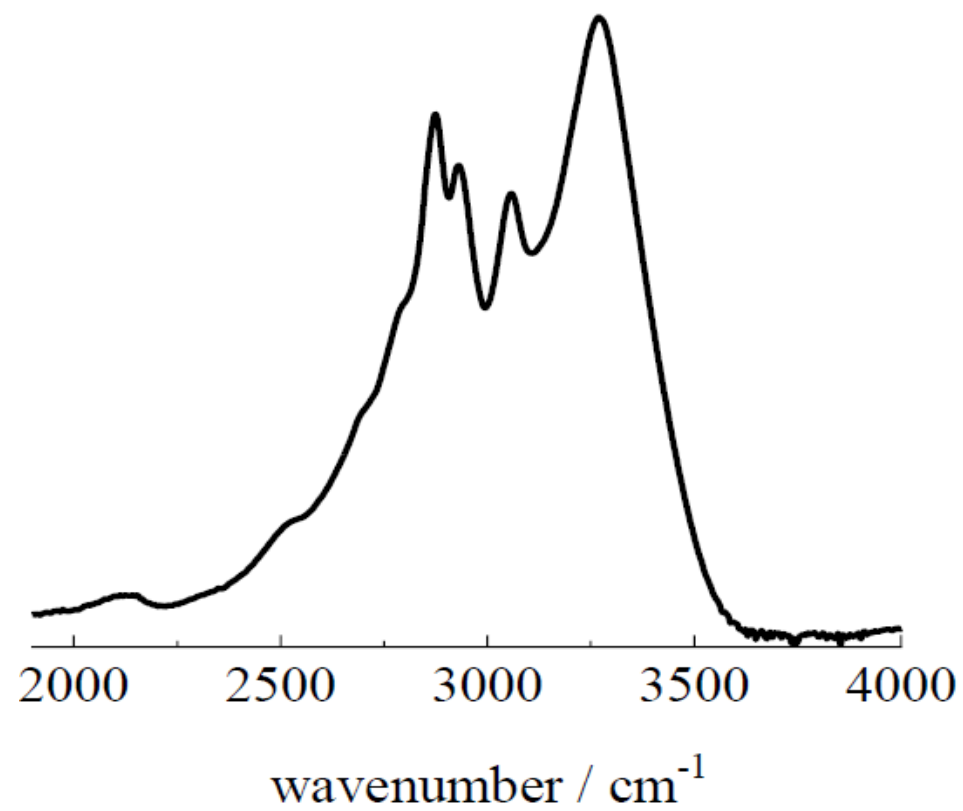


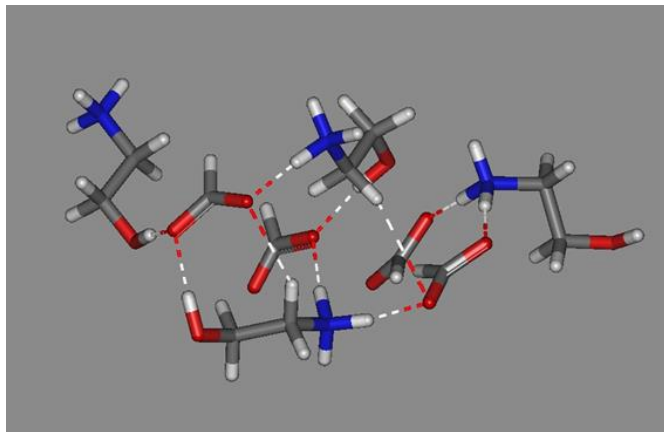
168 cm^{-1}

A case study...

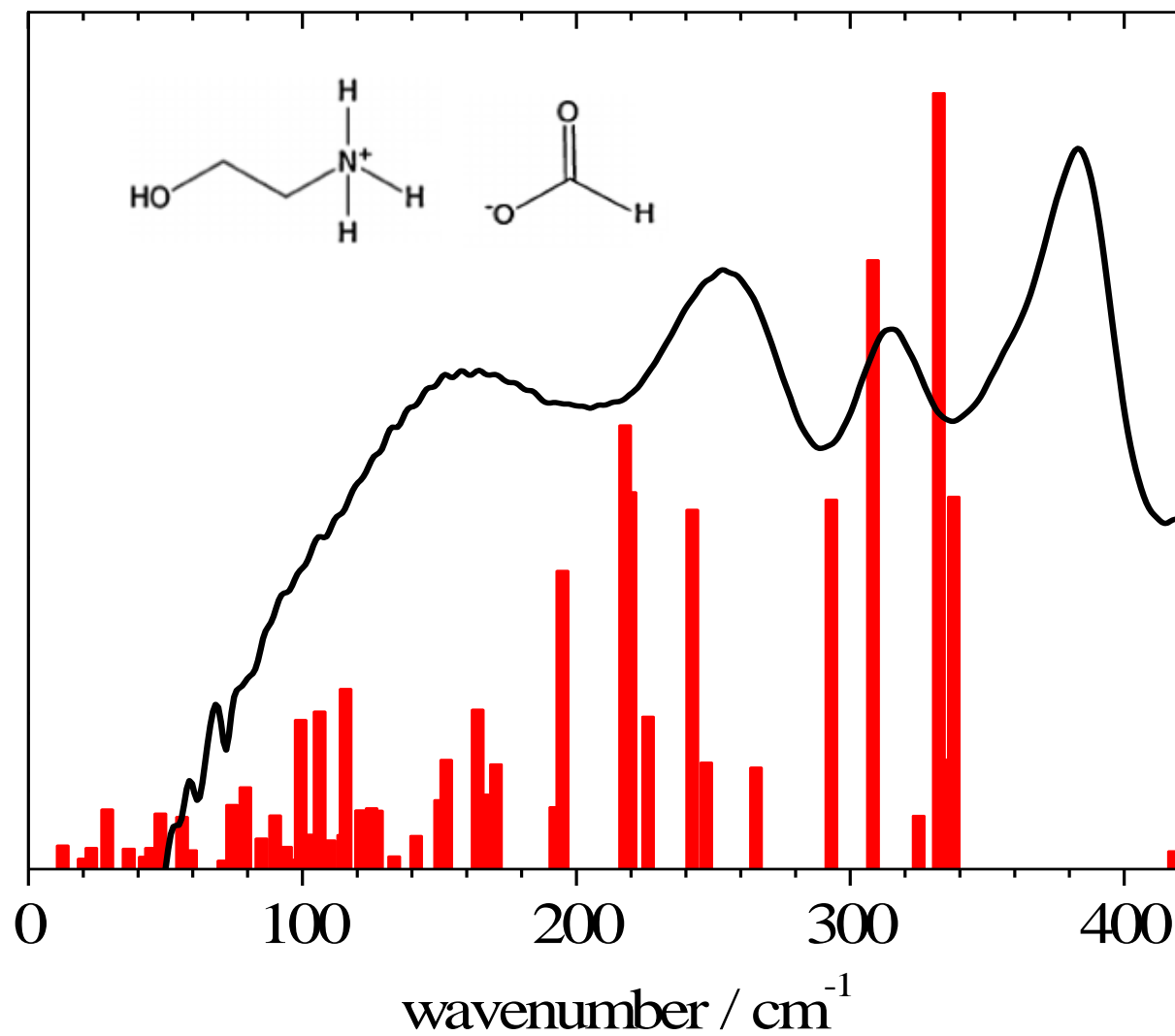


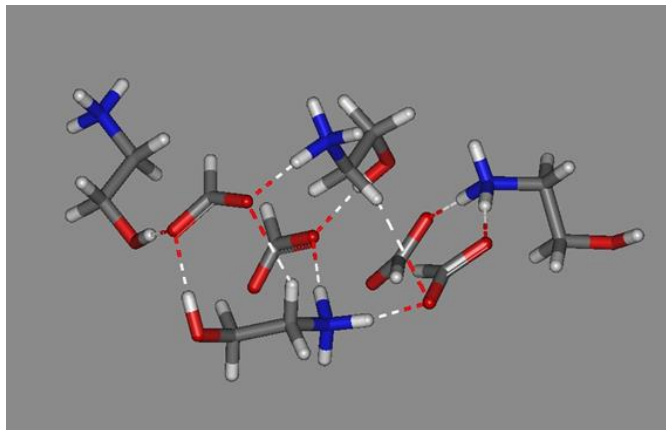
2-hydroxyethylammonium
formate



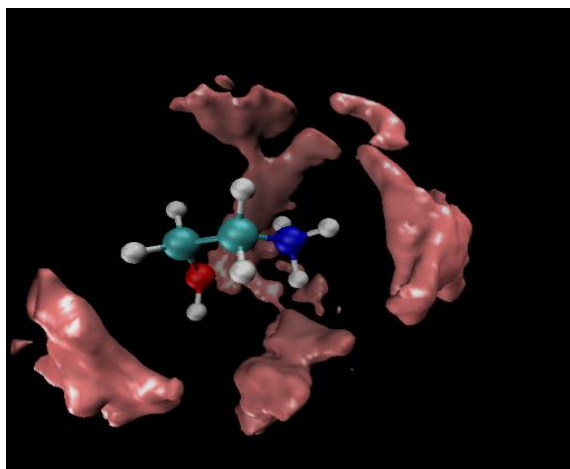


DFT/ B3LYP-D3/def2-TVZP
CPCM, $\epsilon = 61.0$

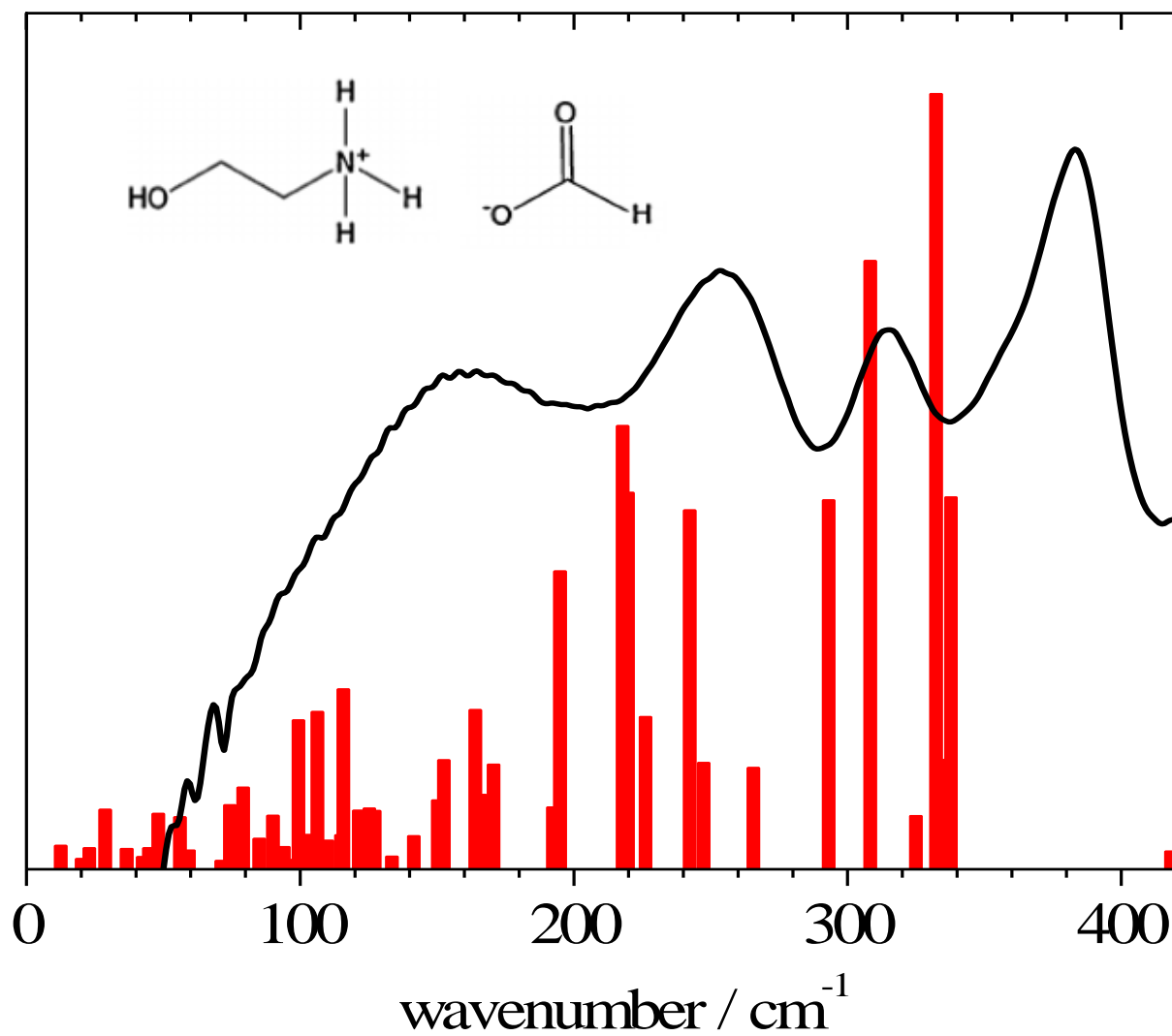


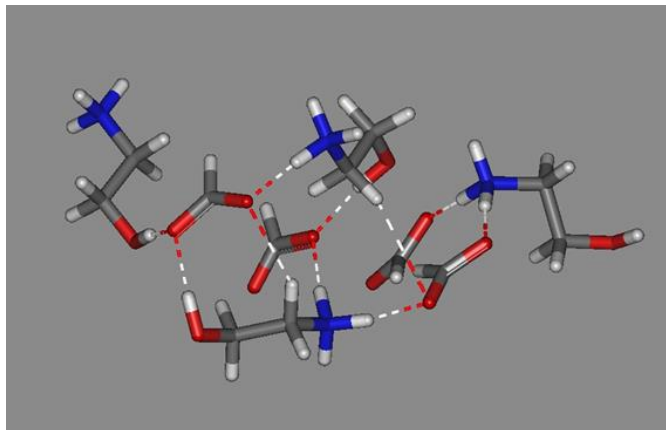


DFT/ B3LYP-D3/def2-TVZP
CPCM, $\epsilon = 61.0$

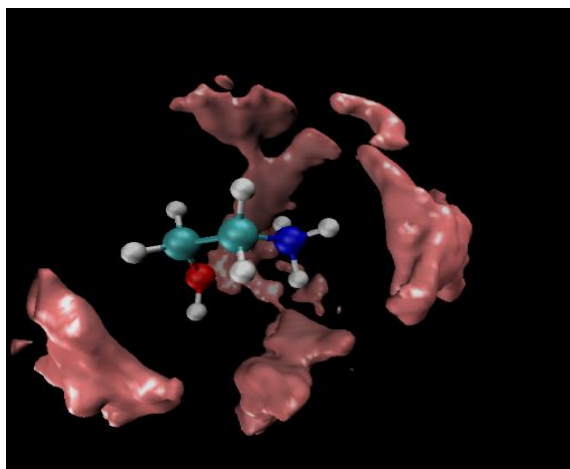


ab initio MD simulation (AIMD)

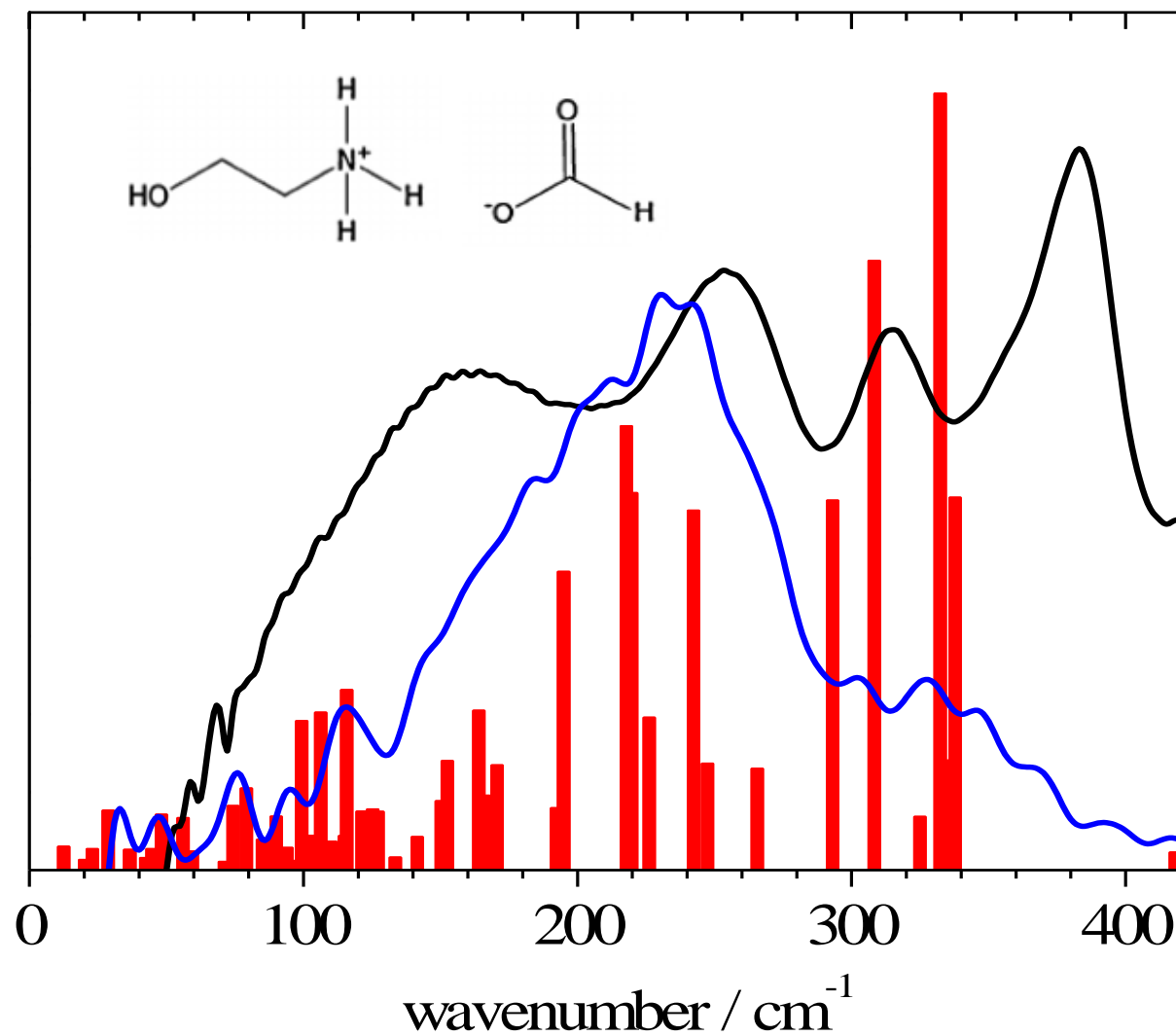




DFT/ B3LYP-D3/def2-TVZP
CPCM, $\epsilon = 61.0$



ab initio MD simulation (AIMD)

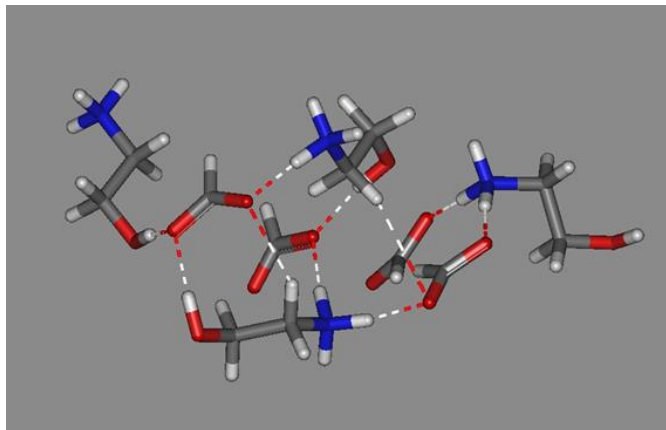


far-IR

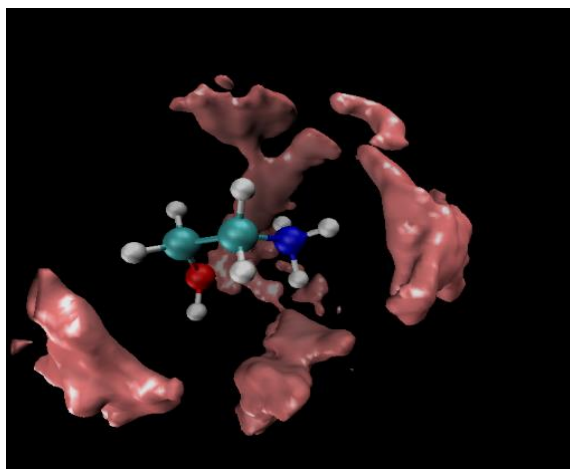
DFT

AIMD

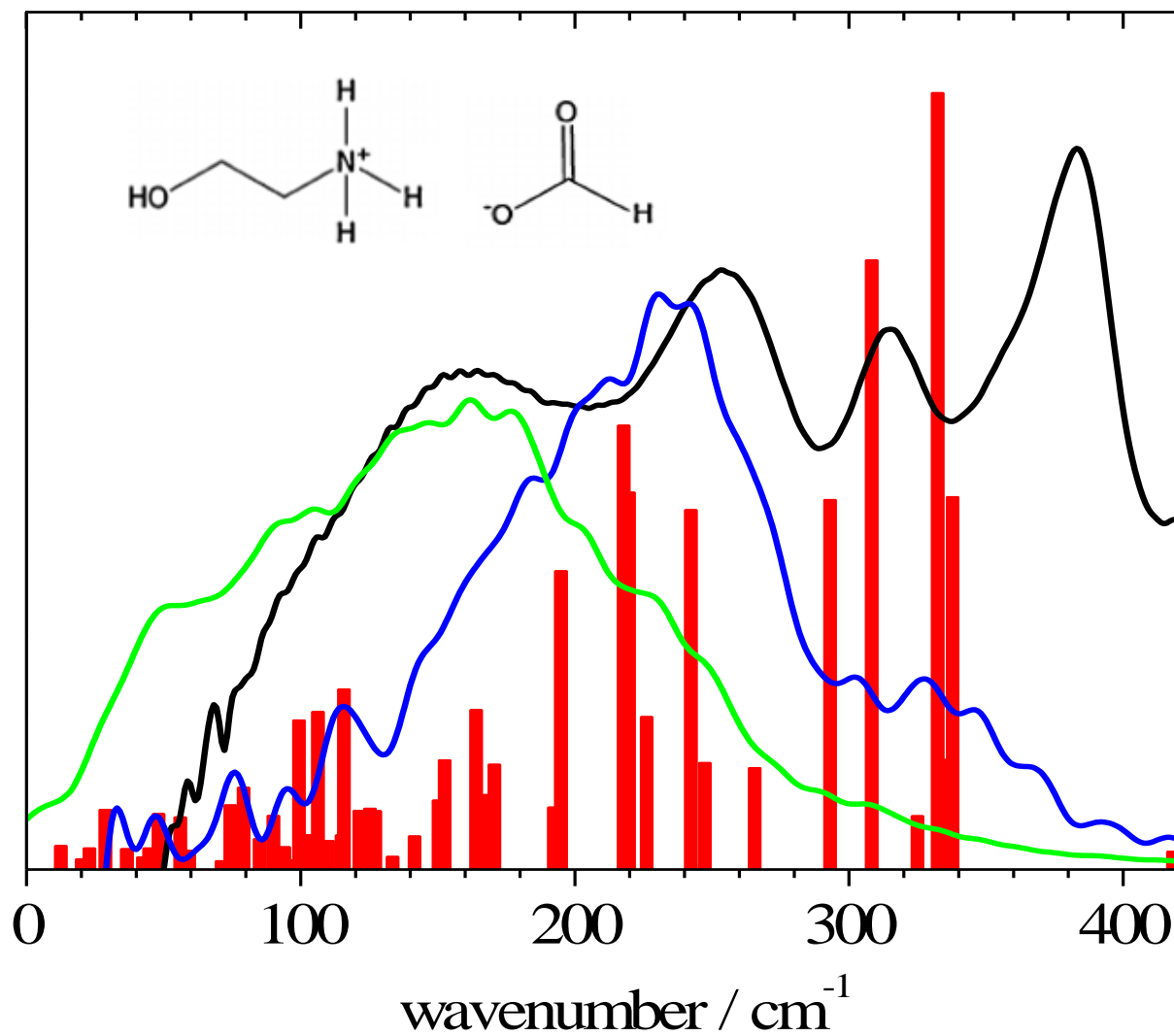
$\text{N}_{\text{cation}} - \text{O}_{\text{anion}}$

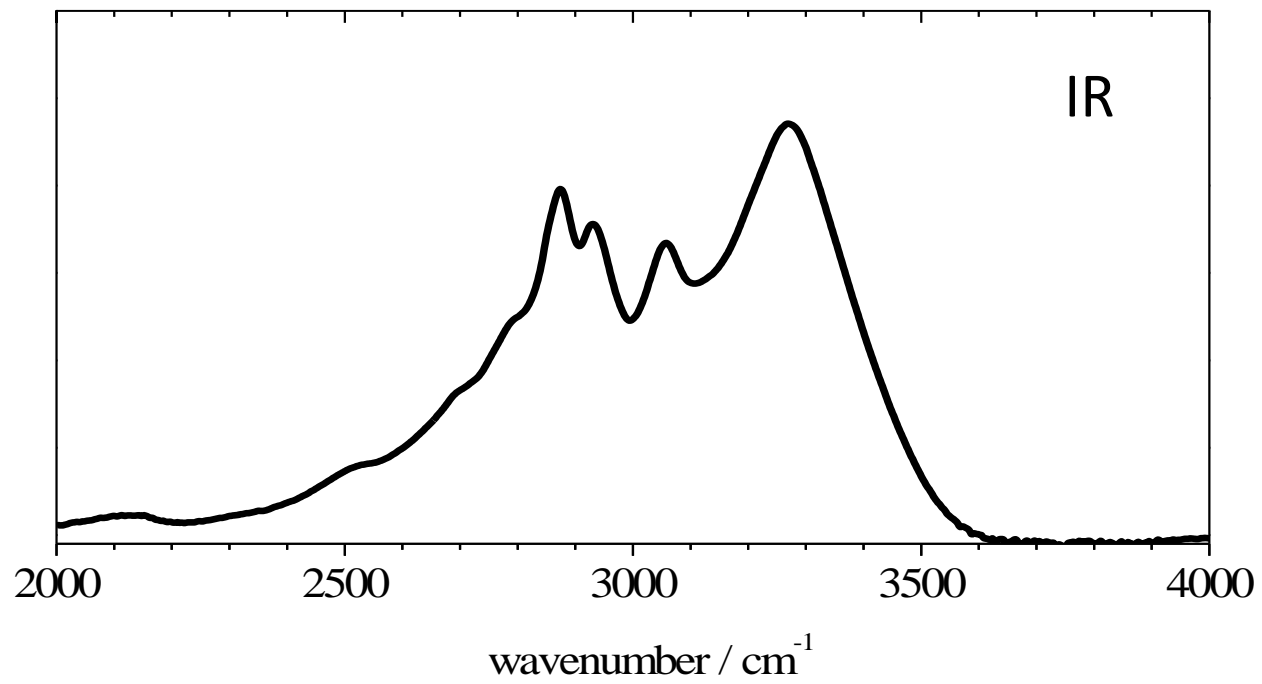
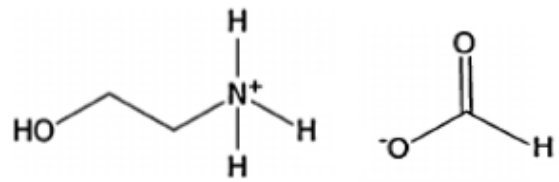


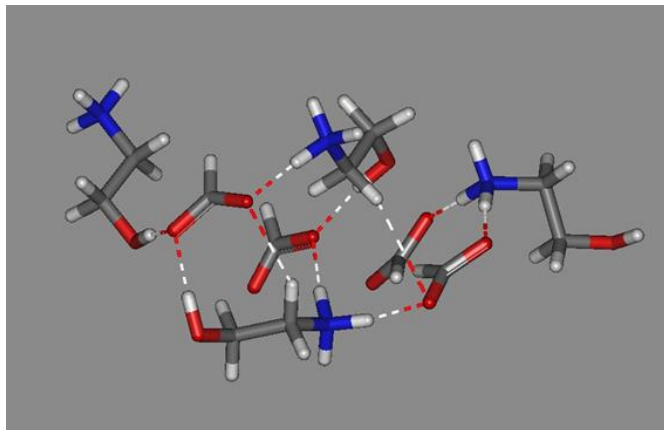
DFT/ B3LYP-D3/def2-TVZP
CPCM, $\epsilon = 61.0$



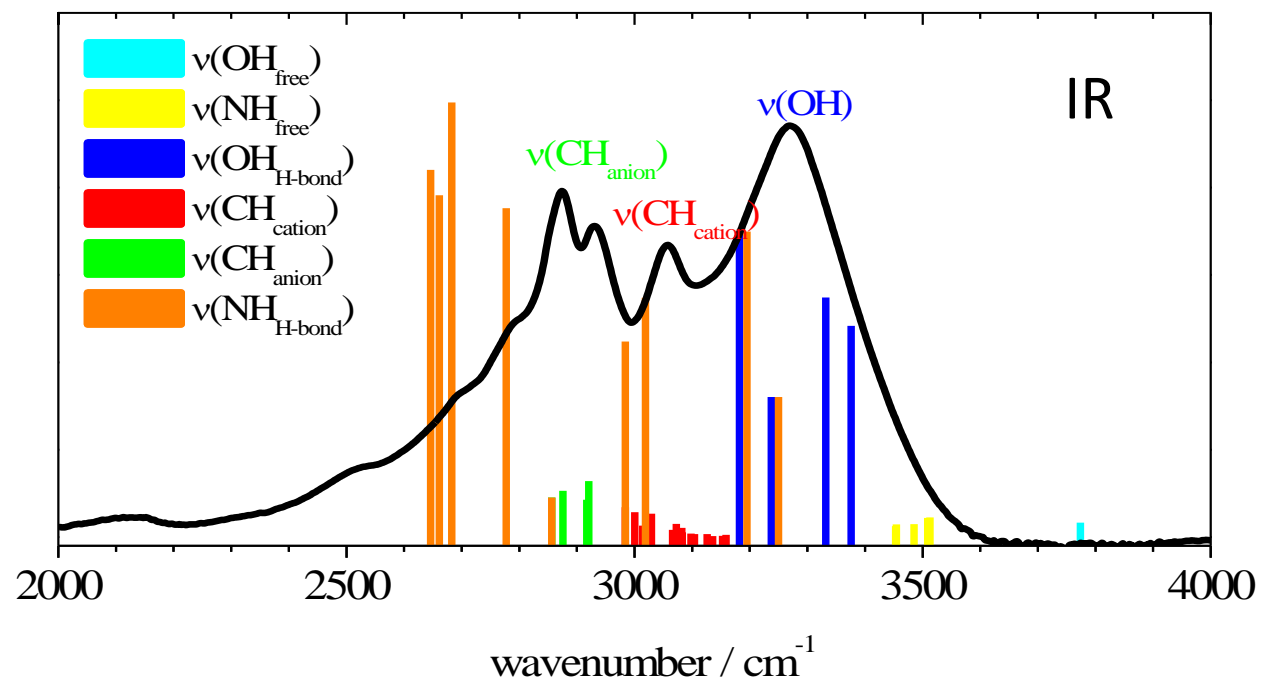
ab initio MD simulation (AIMD)

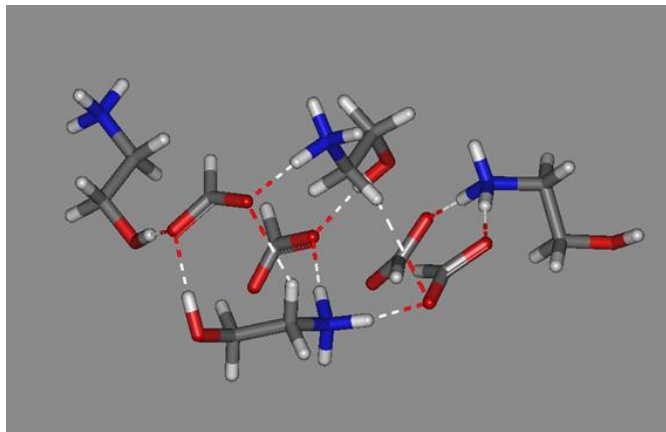




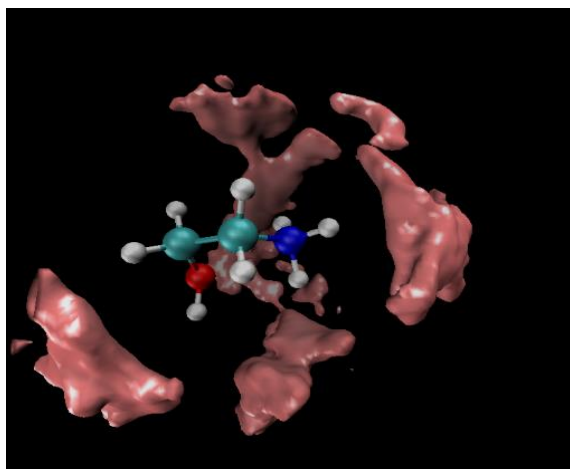


DFT/ B3LYP-D3/def2-TVZP
CPCM, $\epsilon = 61.0$

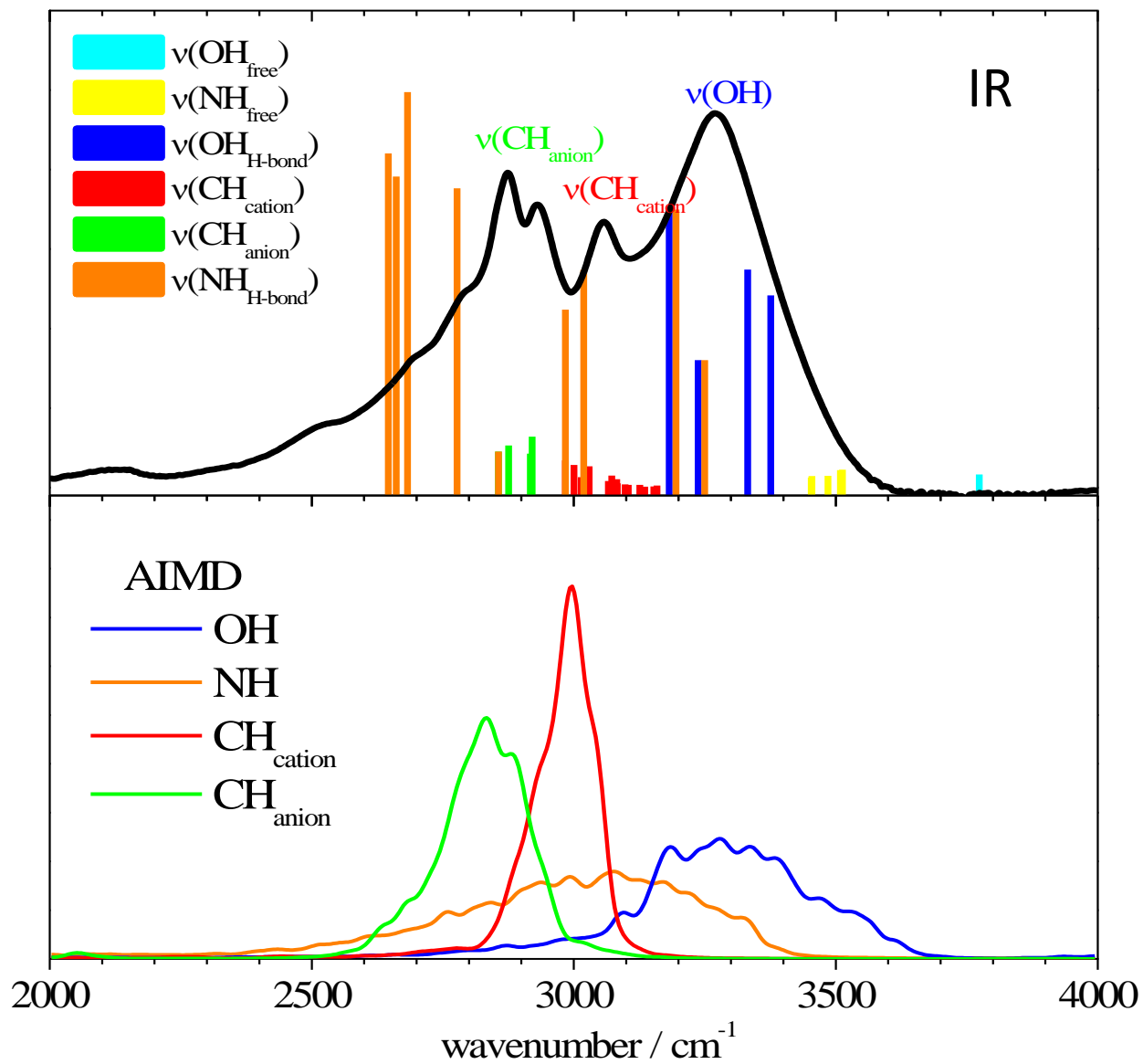




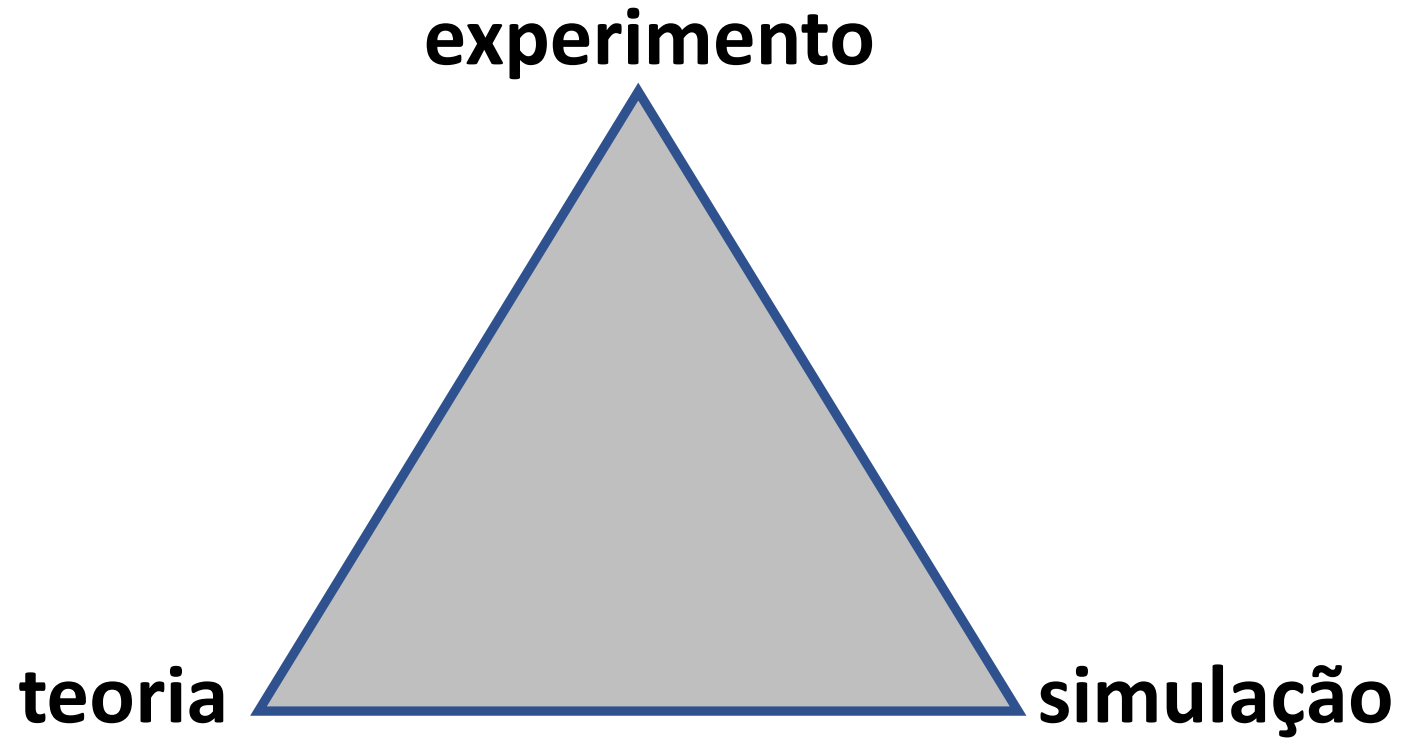
DFT/ B3LYP-D3/def2-TVZP
CPCM, $\epsilon = 61.0$



ab initio MD simulation (AIMD)

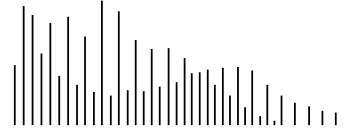


Considerações Finais:





Universidade de São Paulo
Instituto de Química

LEM 
Laboratório de Espectroscopia Molecular

USP

